



MICROFICHE N°

04484

République Tunisienne

MINISTÈRE DE L'AGRICULTURE

CENTRE NATIONAL DE

DOCUMENTATION AGRICOLE

TUNIS

الجمهورية التونسية
وزارة الفلاحة

المركز القومي
للتوصيف الفلاحي
تونس

F 1

003A 0034

DIRECTION
DES RESSOURCES EN EAU

ETUDE HYDROGEOLOGIQUE PRÉLIMINAIRE
DE LA PLAINE DU NIÉZ

MARS 1986

H. YANNACCI

~~SECRET//NOFORN~~

~~REF ID: A6519477~~

CONFIDENTIAL
DES MATERIAUX DE TUE
APPAREILLAGE DE TUEUR

SECRET//NOFORN
REF ID: A6519477

DE LA PLAGE DE SAINTE

SECRET//NOFORN

H. YOUNG

S O M M A I R E

Avant propos

I- CONSIDERATIONS GÉNÉRALES

- 1-1 Situation
- 1-2 Données climatiques
- 1-3 Morphologie et écoulement de surface

II- GÉOLOGIE

- 2-1 Généralités
- 2-2 Stratigraphie
- 2-3 Tectonique

III- HYDROGEOLOGIE

- 3-1 Aquifères profonds
- 3-2 Nappe phréatique
 - 3-2-1 Inventaire des points d'eau
 - 3-2-2 Essai porcher
 - 3-2-3 Piézométrie
 - 3-2-4 Hydrochimie
 - 3-2-5 Estimation du bilan de la nappe
 - 3-2-6 Proposition

IV- CONCLUSION

AVANT PROPOS

Il y a quelques années, les habitants de la plaine du Saar n'avaient comme activités que l'élevage et l'immigration. La pêche-agriculture, pratiquée depuis longtemps sur des étendues très vastes et parfois en derrière des fabriques sous un climat aride et avec une pluviométrie irrégulière, n'assure que difficilement l'autosuffisance en aliments. Ceci implique que le domaine agricole ne fournit pas assez que des revenus régulaires et irréguliers.

Dans ces conditions climatiques et socio-économiques, la destruction du mode de vie semi-sédentaire semi-nomade et la transition vers la vie sédentarisée au sein des villages ont impliqué l'apparition de nouveaux villages tel que El Gheryaït et Saar (Chef lieu de la délégation) avec des habitants disséminés et sédentarisés dans leur parcelles privées à travers la plaine.

Grâce à ce nouveau statut social et dans le cadre des encouragements fournis au domaine agricole, les habitants de Saar ont su attirer l'attention sur l'importance de la nappe phréatique de leur région.

Cette situation explique l'activité croissante de création et d'agrandissement des puits qui a été constatée surtout à partir du début des années 1980.

L'étude hydrogéologique de la plaine de Saar a pour but d'inventorier les points d'eau en détaillant la zone la plus favorable à l'exploitation surtout au point de vue salinité et d'évaluer les ressources de cette nappe.

Ceci permettrait de prévoir les conditions futures d'exploitation de la nappe et de mieux orienter les créations en matière de puisse de surface.

Ce travail d'inventaire a demandé des efforts particuliers étant donné le mauvais état des routes et l'inaccessibilité du terrain dans certaines zones. Ces efforts ont été fournis par l'équipe de la DRI à Tatsouine et plus particulièrement à MESSIFI, observateur hydrogéologue et son collègue H. BOURA, le premier a été comme tâche de faire l'inventaire ; le second s'est chargé de la réalisation des profils d'eau. Nous sommes très reconnaissants à l'aide en soiement de locomotion qu'on a trouvée auprès de MESSIFI à CRDA à Tatsouine.

Cette étude hydrogéologique préliminaire sur la plaine qui a été réalisée sur la nappe phréatique de la plaine du Saar. Elle présente l'inventaire complet des points d'eau, la carte phréatique et la carte de salinité de cette nappe avec une estimation aussi précise que possible des ressources disponibles.

1.2 CONSTITUTION OF STABLES

卷之三

La plaine du Ghar est limitée à l'Est et au Sud-Est par les coteaux du Tidro délimités elles de Kitchoua à Sidi Toui et au Sud par le talus suivi par deux rivières qui enserrent la bordure du Lebbaïn fig 82 Mailliez. Les mêmes aspects géologiques et morphologiques de cette plaine se retrouvent dans la plaine d'El Ghomrara en allant vers les Djeridane et vers le plateau d'El Mejjad au Nord. On en limite pour cette raison aux zones des Sakkates et des plaines dont l'eau est issue soit vers l'Est et soit vers le Nord.

1-2 Domesticated animals

La plaine du Rhône se trouve exposée directement à deux influences climatiques opposées : un vent de l'ouest dévastateur dans lequel les gaves sont l'effet d'assaut graduellement dans la direction dans une peri et à l'influence continentale austro-allemande qui, avec des rafales fréquentes par les courants de Nuremberg d'autre part.

D'une façon générale, le ciel reignant sur la plaine du Soar se caractérise par un aspect plus proche du ciel de la Sibérie intérieure (type boréal), que de celui de la Haute-Asie (type tibétain, tibéto-irano).

La nostra idea fondamentale dovrebbe essere la pluriabilità cognitiva
perché ciò non è un solo tipo di teoria cognitiva ma contiene elementi di teorie
di molti tipi e perciò può essere più utile.

爲此，他計劃在1960年左右將軍隊擴編至15萬人。他還說，他希望在1960年左右將軍隊擴編至15萬人。他還說，他希望在1960年左右將軍隊擴編至15萬人。

1-1 Morphologie et émissivité de surface : (voir annexe C, des plans hydrographiques)

La chaîne montagneuse de Rebagh qui culmine à 213 m favorise le ruissellement et entraîne la formation des wadis grande qui sont tous des affluents d'oued PERGI. Les plus importants de ces wadis sont :

1) Oued SEDOG : qui a un bassin versant de 293,9 km² et dont les eaux de ruissellement la Sétifia de l'erg El Mekka et El Mokhaat et la sebkhat le long du défilé oued.

2) O. SAGAO : avec un bassin versant de 232,8 km² et qui passe par Sebkhat Chella.

3) O. Guebien : avec un bassin versant de 221,3 km².

Les caractéristiques des S.V. sont réparties sur le tableau suivant :

Tableau 1 : Caractéristiques hydrographiques des S.V. de la plaine du Saïan

Nom d'oued	δ	T	sc	B_{max}	B_{min}	L	l	D	I_a	I_T	I_L	\bar{I}_T
	(km ²)	(km)	(m)	(m)	(m)	(km)	(m)	(m/km)	(m/km)	(m/km)	(m/km)	(m/km)
O. Fezzai	2230	285	1,69	640	10	124,63	17,9	428	3,63	123	4,01	3,98
O. Sedog	269,4	67,0	1,189	707	23	27,18	11,12	141	8,13	120	14,94	1,23
O. Saïar	432,6	88,0	1,614	392	40	37,85	8,15	200	3,78	120	14,88	1,05
O. Guebien	221,	52,0	0,978	350	91	16,3	-	188	10,0	115	3,98	1,32
O. Chella	33,3	36,0	1,768	210	43	15,96	2,05	125	7,83	125	15,71	6,19
O. Mezama	20,1	19,0	1,186	190	90	8,32	1,18	56	9,17	120	13,97	0,12
O. Bouâda	19,1	20,8	1,329	120	75	8,0	2,40	47	3,87	120	6,37	0,09
O. Touane	16,1	21,5	1,482	190	70	8,3	1,83	47	3,38	125	4,7	0,08
O. Jaha	10,2	14,0	1,223	101	70	4,93	2,07	28	2,27	120	5,31	0,03

Noter, le volume des eaux de ruissellement moyen qui se déversent dans l'oued Fezzai à partir de la plaine du Saïar est de l'ordre $4,13 \cdot 10^9$ m³ (131 l/s), sur cette plaine, les travaux d'aménagement hydrographique comme les "jessouras" et les travaux de C.R.H. sont peu nombreux.

2- GEOLOGIE :

2-1 Généralités (voir carte géologique ci-jointe)

Les cuestas de Jebel Rehach, qui apparaissent au niveau d'Aïn El Marteh, disparaissent complètement à 25 km plus au Nord-Ouest. Ces cuestas constituent la limite naturelle de la partie ouest de la plaine de Smar. Le flanc ouest de cette chaîne correspond à un petit plateau protégé de l'érosion par la dalle carbonatée dure et résistante du Trias dolomitique. Ce plateau plonge rapidement sous les sédiments du Trias évaporitique. Vers le Sud, au niveau du Kaar Aoun et Béni-Mhira, ce même plateau constitue les Bassins versants Nord de Sékhât Om Khâlet. Le revers Est de la chaîne se présente sous forme d'une falaise ou cuesta entaillée par des nombreux gouffres et surplombant la plaine du Smar qui est plus ou moins ondulée avec des dépressions dont les plus vastes sont : S.E. al Makhzen et S. Cheaila.

Plusieurs études géologiques ont essayé de démontrer que la chaîne de Jebel Rehach constitue le dernier vestige de l'ancien dôme à cœur triassique formant le substratum de la Djéffara. Ce dôme très fortement démantelé par l'érosion tertiaire a sa partie orientale complètement effondrée sous le Mio-Plio-Quaternaire de la Djéffara qui débute au niveau de la plaine de Smar.

Cette plaine est encadrée par des failles d'affondrement. Le substratum de celle-ci est constitué par les formations de Trias gréseux (T. Inférieur) recouvertes par une couverture peu épaisse d'âge Mio-Pliocène et Quaternaire.

Cette couverture a été décrite par E. BERKALOFF et G. CHUBERT. De nombreux puits creusés récemment ont permis de reconnaître d'avantage ces dépôts superficiels ainsi que la partie sommitale du Substratum Triassique. On exposerà dans ce qui suit les coupes lithostratigraphiques de quelques puits, ainsi que des observations faites lors des tournées de reconnaissance effectuées dans le cadre de cette étude.

a) Zone d'oued Fessi :

a.1) Puits de Salem Lassoud : Placé entre Kirthaou et oued Fessi, ce puits a recoupé respectivement 7m de sable, de calcaires et de galets et se poursuit dans des grès blancs fracturés jusqu'à 1km. Il s'agit du quaternaire moderne et du Miocène en discordance sur les grès du Trias inférieur.

a.2) Puits de Soltan Farayd : Ce puits est creusé entièrement dans le limon et le loess de la formation d'oued Fessi.

D'autres puits au Nord de Kirthaou et parallèlement à O. Fessi ont recoupé une épaisseur inférieure à 10m de remplissage. Certains ont débordé directement dans la formation du Trias inférieur.

Ainsi, il semble bien que la formation d'oued Fessi, constituée du limon, alluvions et d'argiles calcaires et ayant une épaisseur supérieure à 5km, ne dépasse pas les abords immédiats de cet oued.

NAPPE PHREATIQUE DE SMAR

CARTE GEOLOGIQUE

Echelle 1/200000

LEGENDE

- [Symbol: square] Gesteinsschicht
- [Symbol: diagonal lines] Mietzige Kalksteine, ungeklaste und ungestört
- [Symbol: horizontal lines] L-BS - Porphyren des Basalt-Lava- und Anorthit-Vulkans
- [Symbol: dots] Tuffs d'Anorthite
- [Symbol: dots] Tufs basaltiques
- [Symbol: dots] Tufs dolomiques

LETSCHER ET TURGÉNIEVSKY

• Fossiles fossiles

* Δ Fossiles pétrifiés



1	NE 20
2	PLATE FAULT N
3	BS 14
4	BS 13
5	BS 12
6	BS 11



a) Zone de Sidi-Brahim :

b.1) Puits de Sidi-Brahim Ben-Hassan (N° d'inv. 101)

Sous un sol limoneux du Quaternaire récent, ce puits a traversé le d'argile puis du conglomérat d'âge probablement médiéval. Il se continue ensuite dans le Trias avec 13.5m de grès fin, puis 31m d'argile jaune, rouge et verte.

b.2) Puits de Tahar Ben-Mahrouk Lalyath (N° d'inv. 119)

Après avoir recouvert de la limon argileux, il a rencontré 2m de grès avec présence de calcaire troyée et des strates de calcaire vraisemblablement horizontales avec 3m de grès fin du Trias.

Cette zone est le domaine d'une tectonique cassante étendue. La puissance de remplissage est faible.

c) Zone d'oued Bechar et de Chemila :

c.1) Puits de Ahmed Ben Ali M'hamed (N° d'inv. 93)

Ce puits fut creusé dans le lit d'oued Bechar. Le N.E. est toujours inférieur à lui et le sol est constamment habité d'eau. Les grès du Trias affleurent dans le lit d'oued qui fut recouvert ultérieurement par des déônes de sable avec un peu sable-limoneux. La partie droite de l'oued correspond à une rive couverte par une couche de nature calcaire et gypseuse. Avant de passer au grès du Trias, on rencontrera des argiles vertes puis du conglomérat.

c.2) Puits Ahmed El-Khaldi (N° d'inv. 201)

C'est un petit creux dans une dépression karstique correspondant à Egg Chemila. Ce puits a rencontré successivement des limons, des argiles et du conglomérat sur une dizaine de mètres. Bien que le taux d'infiltration des eaux des cieux d'oued Bechar est très important, l'eau des puits de cette zone est extraites.

c.3) Puits de Mansi Ben Ali Lekhlef (N° d'inv. 291)

Placé sur un affluent d'oued Bechar, ce puits a rencontré un peu gypse lorsque l'épaisseur du quaternaire ancien et de la couche de roches décomposées sur des grès fins blanchâtres.

d) Zone d'Eya El-Mazdad et d'oued Sebaa :

La dépression de S.E. El-Mazdad est bordée par un sol de sable noir avec affleurements sporadiques des grès du Trias. A l'est il est difficile de lire d'oued Bechar jusqu'à la continuité de celles-ci avec oued Sebaa.

d.1) Puits de Khou El-Mazdad (N° d'inv. 24)

Il se trouve à proximité de la Sabkhat. Pour une profondeur de 10m, il a percé de haut en bas : 1m de limon et 10m d'argile rouge brûlée et très coquante qui constitue le talus d'un capon en échappant à la plaine sableuse au sud.

2-2 Puits de Abdallah Snoussi (N° d'inv. 28)

Ce puits fut creusé dans le compartiment encaissé au Sud de la faille passant par Oued Sebag. Il s'agit d'une plaine libaneuse où la majorité des formations quaternaires y sont représentées. Le puits n° 28 a rencontré respectivement de la lisse, de la craie calcaire pure et se continue jusqu'à une de profondeur dans les argiles vertes et coupees alternées probablement au Niveau.

Ainsi, on constate que la zone bordée par les falaises correspond à une plaine envahie avec des petits plateaux encroûtés et recouverts de lisse et de sable fin. Ces séries quaternaires sont érodées et partiellement mises à jour au niveau des zones entaillées par les cours d'eau.

2-2 Stratigraphie

2-2-1 Plaine inférieure

Les alluvions s'accumulent le long des lits majeurs d'eau qui aboutissent jusqu'aux environs de Smer et Kirchaou. Ce sont des dépôts grossiers. Vers l'Est et surtout à O. Fezzi et tout du sud (Niveau sable et lisse). Ces dépôts sont peu épais, voire même absents au niveau de certains cours. Les alluvions grossières sont parfois cimentées et forment ainsi une couche peu perméable appelée "cangalou" ou "fond d'eau".

Les dunes et les îlots recouverts de sable se développent dans les vallées des oueds (O. Fezzi, O. Smer, O. Sebag...), dans la dépression de Sabkha Chemla et sporadiquement sur certaines plaines quaternaires situées plus à l'Est. Ce sable constitue une formation favorable à l'infiltration des eaux des crues.

2-2-2 Plaine supérieure

Les dépôts de cette époque sont assez variés. Ils sont constitués essentiellement de lisse et des dépôts superficiels.

Les lises s'épanouissent des plaines franchit vers l'Est les crêtes de Jebel Rabeh. Ils recouvrent les flancs et combinent les vallées des oueds et surtout celles des affluents actuellement peu actifs. Ces lises s'étendent également, mais parfois sporadiquement, sur les petits plateaux de la plaine.

Ils passent latéralement en terrasses dans les lits des cours principaux.

Les dépôts karpous constituent les vestiges des émissaires d'eau de quaternaire récent. On les rencontre à proximité des dépressions où les ruisseaux sont actuellement sub-affleurantes et à niveau relativement peu profond (niveau de 50 à 70). C'est le cas par exemple des vallées de Chouita (O. Fezzi), une partie d'Oued Fezzi, O. El Mathra, O. Sebag... .

2-2-3 Quaternaire ancien :

Le quaternaire ancien était l'époque de formation des croûtes calcaires qui formaient une couverture continue et relativement au niveau des zones relativement élevées dans les plus anciennes de la plaine du Sebk. La croûte gypseuse, plus jeune et beaucoup moins répandue ne couvre que les flancs des collines riches en gypse. Les limons entourent ces deux croûtes, qui, à leur tour reposent sur les argiles du Pliocène, le congénérat miocène ou recouvrent les grès triasiques.

2-2-4 Mio-Pliocène :

L'affleurement de Miocène est fréquent sur le pourtour de S. Chabla ; On voit un congénérat à petits éléments discordant sur les grès du Trias et surmontés de grès à grains fins intercalés de bancs conglomératiques à gros éléments. Ces stades déposés ont été observés par A. Robaux et G. CHABLAIS à différents points d'O. Fessi^(*).

Au niveau d'ouest Sebag et sur le pourtour Est de S.E. El Makhzen se dessine une couverte remplie par un conglomérat miocène à très gros éléments d'origine fluvi-continentale.

Plus au Sud, au niveau de la plaine d'El Maktine (point n° 25), le Miocène passe latéralement vers une formation d'argiles rouges et vertes puis des calcaires lacustres mal stratifiés.

Le Pliocène qui est représenté surtout par des argiles vertes souvent hydrosédimentaires repose d'une manière discontinue sur le conglomérat miocène.

2-2-5 Trias gréseux :

Le Trias gréseux affleure au piedmont de la falaise de Rehach le long de 25 km depuis la source de Ain El Merabet au Sud. On observe en affleurement des grès à grains fins, parfois ferrugineux et micacés se caractérisant par l'abondance de la sédimentation dolique, avec Rippel-marks de bois fossile... Les passes d'argile rouge sont fréquentes.

L'épaisseur de ces grès, partiellement traversés par des franges d'eau au Sud et à l'Ouest de Krichou, dépasse 120m. D'après le forage pétrolier L.G2 (N° 1.R.H. 6691), l'épaisseur totale est de l'ordre de 620m dont 50m sont en affleurement.

2-2-6 Conclusion (voir coupe ci-jointe)

La plaine de Sebk se caractérise, au point de vue lithostratigraphique, par une couverture mio-pliocène et quaternaire ayant une épaisseur de 5 à 15m en général et aux environs de 50m à ouest Fessi. Les grès du Trias inférieur constituent le substratum de cette couverture à travers toute la plaine avec une épaisseur supérieure à 500m.

(*) Carte géologique et hydrogéologique provisoire au 1/200.000 N° 33
A. ROBAUX ; 1941. Imp. LARAPIDE - TUNIS.

COUPE GEOLOGIQUE A TRAVERS
LA PLANE DE SMAR

vers le sud vers le nord

vers le sud

vers le nord



LEGENDE



Symbol A = Argiles et Gneiss

Symbol B = Grès moyen (Gneiss de Rennes)

Symbol C = Micaschiste

Symbol D = L. Verte ou
Gneiss

2.1 INTRODUCTION

Les couches géologiques du Tiers pendant le 2 à l' vers le Sud-Ouest. Par conséquent la nappe phréatique de la plaine du Saar apparaît au niveau moyen du défilé de la Zeffern.

La faille F21 coupe la faille d'orientation Nord-Est, démontrant l'hypothèse que Seebach est responsable de l'absence de marques minéralogiques dans les couches de la Zeffern. Elle limite vers le Sud la plaines affluentes de Seebach.

La faille F21, située parallèlement au picnion de la rivière de Seebach et coupée par les pétroliers, est responsable de l'absence des marques minéralogiques avec un rejet de l'ordre de 25m. Le niveau de Seebach représente le compromis atteint par ce mouvement tectonique. La faille F21, étant parallèle à la précédente, devrait actuellement être affondrante dans la direction Nord-Est.

Le niveau du Saar est ainsi bordé par trois failles dont l'effet est l'affondrement de la rivière par rapport aux portions qui se situent au Nord, au Sud et à l'Ouest.

Ces failles constituent les premières parties après l'heure de l'affondrement de la Zeffern calcaire.

2.2 MÉTHODES

2.2.1 ANALYSE PETROLIERE

Les gîtes hydrocarbure internes d'origine parfois prélevées sont associées à une nappe aquifère dans l'eau ayant recouvert dans les fissures, les sédiments organogéniques et les joints de fracturation. La pertinence d'interpréter une telle faille.

Les sondages dans les vallées dans la plaine du Saar ont permis de plusieurs aquifères distincts de 0 à 100 m de profondeur avec une puissance spécifique à chaque niveau respectifs au sein du même lit. On peut dire que ces niveaux aquifères sont facilement avec les autres et que les deux intercalations sont caractéristiques de certains détails d'hydrocarbure latérite localisée de l'un des terrains.

La hauteur de l'eau moyenne avec le terrain est de 100 mètres en 0,5 m au sud des aquifères hydrocarbonés à hauteur de 0,250 m vers l'aval dans le cours moyen et le plus haut de la même région. Il semble qu'il y a aussi une variation latérale de hauteur. En effet, les deux derniers sondages par la sonde à l'affleure à l'aval de Rieden (0,0 à 195672, sondage au picnion de la rivière du Rieden) et à l'aval de 0,5 pour près à l'aval de Rieden, sont dans cette zone mais ce sont spécialement pour les terrains de Rieden.

La tableau suivant donne les perturbations diverses des sondages réalisés dans la plaine du Saar.

Tableau 2 : Caractéristiques hydrogéologiques des forages de la plaine du Smar

N° du forage	Délai T.N. (an)	Nature de l'aquifère	N.S. T.N. (m)	R.S. (g/l)	Observations	
					N.S. T.N. (m)	R.S. (g/l)
S.M.KIRCHAOU	-13,5	Plancherage	-7			
	-19,6	Méso-Plié-Ouest	-5			
	-31,4	T. gréseux	-4,5			
D.E.Kirchaou	-9	Méso-Plié- Quaternaire	-7,7	Inconnu	Q artés. : 1 l/s	
	-15,5	Argileux	-4,75		Q artés. : 3 l/s	
	-43,7-47,3	Gréseux	-2	8,37		
D.E.Kirchaou	-				Prof : 87,7m	
					Altér : argiles et grès	
					sous eau	
Dess Et Reches (SCHÉDE)	Imp. 6-26		-23,7	1,80		
	-32 à -37	T. gréseux	-22,8	3,80	Variation verticale de	
	-66 à -130		-23,4	4,75	salinité	

La nappe du Trias gréseux proche des zones d'alimentation s'étend depuis S.E. El Mekhzen au Sud jusqu'au Medenine au Nord et elle intéressera une frange importante de la Djelfara. Cette nappe est peu connue au niveau de la plaine du Smar et au Nord de l'oued Fessai.

On pense à priori que les forages ayant à capter cette nappe seront en mesure de donner des débits satisfaisants avec une eau de qualité au moins tolérable pour l'agriculture à la latitude du Smar et Kirchaou. C'est le cas par exemple du puits de la mosquée de Kirchaou, qui, après avoir dépassé la nappe phréatique, a rencontré un niveau gréseux aquifère à -42m et qui a fourni un débit de 25 l/s pour une salinité de 2,55 g/l.

A l'Ouest, où les grès sont mieux alimentés, la qualité de l'eau doit être meilleure.

L'importance de ces grès a été mise en évidence par G. BUSSON (*) qui a montré que la partie inférieure du Trias gréseux (série argilo-gréseuse inférieure) n'était pas rabotée par la transgression discordante allant du Trias Supérieur à l'Aptien. Cette série inférieure qui occupe la fosse subdiente de la Djelfara garde une épaisseur supérieure à 500m entre le Tabaga de Medenine et la Rechach. Le pourcentage des éléments détritiques (grès) varie entre 50 et 80 %.

(*) Le Mésozoïque saharien, 2ème partie, fascicule de synthèse des données des sondages algéro-tunisiens Tome I, Planche 10 et page 180, G. BUSSON.

Ainsi, les grès triasiques sont très épais mais pour rechercher l'eau douce, il ne faut pas aller au-delà de 30m de profondeur puisque les aquifères profonds sont peu alimentés et souvent contournés par les argiles salifères intercalées entre les couches gréseuses.

On propose d'établir un programme spécial de sondages concernant la nappe du Trias Grésien à partir de Krikhaou-Et-Medoune au Sud et jusqu'au Bir Lassar - Oued El Kali au Nord. Ce programme complétera la reconnaissance du Trias Inférieur étendue à Medoughe au niveau de la plaine d'El Aouana (Marineb, Bir El Mekka).

3-2 NAPPE PHRATIQUE :

La nappe phréatique du Souf est logée dans le massif Mio-Plio-Quaternaire et les grès triasiques. Cette nappe est aussi étendue que ces formations aquifères.

Comme qu'en atteste à une même nappe phréatique, on observe des variations notables du N.S. en fonction de sa distance. Ces variations résultent essentiellement de la morphologie du terrain, de la nature lithologique des aquifères et de leur éfällisation et d'assèchement saisonnier.

3-2-1 Inventaire des puits d'eau :

L'inventaire des puits d'eau effectué par l'Agence de la D.R.E. de Tataouine a donné un effectif total de 236 puits et 8 sources conformément au tableau suivant :

Tableau 3 : Points d'eau de la plaine de Souf

Sélinite (g/m)	Nombre des puits exploités		Nombre des puits en cours	Nombre des puits fermés	
	G.M.P.	Dolai		Altitude	Nombre
0-5<5	45	34	37	5	32
5-10	1	1	1	0	0
10-15	22	17	7	14	13

Le plus fort des puits sont groupés aux alentours des villages de Krikhaou et de Haar. Il y a nettement une forte volonté de création et d'équipement des puits autour de ces villages bien que cette partie de la plaine desservie à être extrêmement pauvre les puits.

Vers les régions de Souf Et Kebba, Mennoun et El Menzha, les puits sont peu nombreux, la sélinite est moins élevée (7 à 8 g/m) mais le N.S. est relativement assez profond (15 à 20m).

Le nombre total des puits exploités par G.M.P. s'élève à 66 puits dont 32 possèdent une eau de sélinite supérieure à 10 g/m. Or, étant donné que 142 seulement de ces puits se situent dans la zone acceptante d'être exploités avec une sélinite moyenne, le pourcentage des puits équipés (11 %) est assez important.

Dans cette très rare, la croûte des quilles abandonnées est friable, alors que la croûte et l'épaisseur des racines des jeunes plantes sont généralement moins épaisses et dure.

3-2-2 EXPÉRIENCE (TROIS PLANTES DU MARCHÉ)

Les racines des jeunes plantes sont toutes aux 3-4 cm de hauteur.

TABLEAU 2. RÉSULTATS DES TROIS PLANTES

Nom de plante	1	2	3	4	5	6	7	8	9	10	11	12	13	14	15	16	17	18	19	20	21	22	23	24	25	26	27	28	29	30	31	32	33	34	35	36	37	38	39	40	41	42	43	44	45	46	47	48	49	50	51	52	53	54	55	56	57	58	59	60	61	62	63	64	65	66	67	68	69	70	71	72	73	74	75	76	77	78	79	80	81	82	83	84	85	86	87	88	89	90	91	92	93	94	95	96	97	98	99	100	101	102	103	104	105	106	107	108	109	110	111	112	113	114	115	116	117	118	119	120	121	122	123	124	125	126	127	128	129	130	131	132	133	134	135	136	137	138	139	140	141	142	143	144	145	146	147	148	149	150	151	152	153	154	155	156	157	158	159	160	161	162	163	164	165	166	167	168	169	170	171	172	173	174	175	176	177	178	179	180	181	182	183	184	185	186	187	188	189	190	191	192	193	194	195	196	197	198	199	200	201	202	203	204	205	206	207	208	209	210	211	212	213	214	215	216	217	218	219	220	221	222	223	224	225	226	227	228	229	230	231	232	233	234	235	236	237	238	239	240	241	242	243	244	245	246	247	248	249	250	251	252	253	254	255	256	257	258	259	260	261	262	263	264	265	266	267	268	269	270	271	272	273	274	275	276	277	278	279	280	281	282	283	284	285	286	287	288	289	290	291	292	293	294	295	296	297	298	299	300	301	302	303	304	305	306	307	308	309	310	311	312	313	314	315	316	317	318	319	320	321	322	323	324	325	326	327	328	329	330	331	332	333	334	335	336	337	338	339	340	341	342	343	344	345	346	347	348	349	350	351	352	353	354	355	356	357	358	359	360	361	362	363	364	365	366	367	368	369	370	371	372	373	374	375	376	377	378	379	380	381	382	383	384	385	386	387	388	389	390	391	392	393	394	395	396	397	398	399	400	401	402	403	404	405	406	407	408	409	410	411	412	413	414	415	416	417	418	419	420	421	422	423	424	425	426	427	428	429	430	431	432	433	434	435	436	437	438	439	440	441	442	443	444	445	446	447	448	449	450	451	452	453	454	455	456	457	458	459	460	461	462	463	464	465	466	467	468	469	470	471	472	473	474	475	476	477	478	479	480	481	482	483	484	485	486	487	488	489	490	491	492	493	494	495	496	497	498	499	500	501	502	503	504	505	506	507	508	509	510	511	512	513	514	515	516	517	518	519	520	521	522	523	524	525	526	527	528	529	530	531	532	533	534	535	536	537	538	539	540	541	542	543	544	545	546	547	548	549	550	551	552	553	554	555	556	557	558	559	560	561	562	563	564	565	566	567	568	569	570	571	572	573	574	575	576	577	578	579	580	581	582	583	584	585	586	587	588	589	590	591	592	593	594	595	596	597	598	599	600	601	602	603	604	605	606	607	608	609	610	611	612	613	614	615	616	617	618	619	620	621	622	623	624	625	626	627	628	629	630	631	632	633	634	635	636	637	638	639	640	641	642	643	644	645	646	647	648	649	650	651	652	653	654	655	656	657	658	659	660	661	662	663	664	665	666	667	668	669	670	671	672	673	674	675	676	677	678	679	680	681	682	683	684	685	686	687	688	689	690	691	692	693	694	695	696	697	698	699	700	701	702	703	704	705	706	707	708	709	710	711	712	713	714	715	716	717	718	719	720	721	722	723	724	725	726	727	728	729	730	731	732	733	734	735	736	737	738	739	740	741	742	743	744	745	746	747	748	749	750	751	752	753	754	755	756	757	758	759	760	761	762	763	764	765	766	767	768	769	770	771	772	773	774	775	776	777	778	779	780	781	782	783	784	785	786	787	788	789	790	791	792	793	794	795	796	797	798	799	800	801	802	803	804	805	806	807	808	809	810	811	812	813	814	815	816	817	818	819	820	821	822	823	824	825	826	827	828	829	830	831	832	833	834	835	836	837	838	839	840	841	842	843	844	845	846	847	848	849	850	851	852	853	854	855	856	857	858	859	860	861	862	863	864	865	866	867	868	869	870	871	872	873	874	875	876	877	878	879	880	881	882	883	884	885	886	887	888	889	890	891	892	893	894	895	896	897	898	899	900	901	902	903	904	905	906	907	908	909	910	911	912	913	914	915	916	917	918	919	920	921	922	923	924	925	926	927	928	929	930	931	932	933	934	935	936	937	938	939	940	941	942	943	944	945	946	947	948	949	950	951	952	953	954	955	956	957	958	959	960	961	962	963	964	965	966	967	968	969	970	971	972	973	974	975	976	977	978	979	980	981	982	983	984	985	986	987	988	989	990	991	992	993	994	995	996	997	998	999	1000	1001	1002	1003	1004	1005	1006	1007	1008	1009	10010	10011	10012	10013	10014	10015	10016	10017	10018	10019	10020	10021	10022	10023	10024	10025	10026	10027	10028	10029	10030	10031	10032	10033	10034	10035	10036	10037	10038	10039	10040	10041	10042	10043	10044	10045	10046	10047	10048	10049	10050	10051	10052	10053	10054	10055	10056	10057	10058	10059	10060	10061	10062	10063	10064	10065	10066	10067	10068	10069	10070	10071	10072	10073	10074	10075	10076	10077	10078	10079	10080	10081	10082	10083	10084	10085	10086	10087	10088	10089	10090	10091	10092	10093	10094	10095	10096	10097	10098	10099	100100	100101	100102	100103	100104	100105	100106	100107	100108	100109	100110	100111	100112	100113	100114	100115	100116	100117	100118	100119	100120	100121	100122	100123	100124	100125	100126	100127	100128	100129	100130	100131	100132	100133	100134	100135	100136	100137	100138	100139	100140	100141	100142	100143	100144	100145	100146	100147	100148	100149	100150	100151	100152	100153	100154	100155	100156	100157	100158	100159	100160	100161	100162	100163	100164</th

Les îleuses ainsi tracées montrent qu'on assiste à une nappe stratigraphique convergente avec un déplacement estuaire qui se dirige de l'Ouest vers l'Est. Le cours du fleuve Chamaïa, vers lequel converge les lignes de courant, constitue l'axe de cette nappe. Cette zone d'estuaire se caractérise par des sources qui débouchent facilement, des puits à N.E. peu profond et auquel constamment sortent d'eaux sulfureuses à nord Suez et Sakkhat Chamaïa.

Le gradient hydrologique moyen est de l'ordre de 6 % pour la bande Nord-Sud passant par les villages de Suez et de Kitchaou. Des puits creusés dans cette bande et qui ont fait l'objet d'essais paraboliques donnent des débits élevés (puits n° 1), $q = 25 \text{ l/s}$, puis n° 2, $q = 9,3 \text{ l/s}$ pour $h = 0,73 \text{ m}$. Cette bonne productivité s'explique par la nature de l'aquifère qui est constitué de conglomerat gréseux et des gres peu profonds et fissurés. A l'Ouest de cette zone le gradient hydrologique est beaucoup plus faible, ce qui explique les faibles débits des puits testés (puits n° 149, $q = 0,69 \text{ l/s}$, puis n° 150, $q = 1,99 \text{ l/s}$). A ce niveau, il s'agit d'un aquifère gréseux assez épais relativement assez profond par rapport à la source du fleuve et Kitchaou donc moins fissuré et avec une plus faible transmissivité. Ces observations ont été prouvées au niveau par les essais de débit.

4.4.4. Nécessité :

La nécessité : la densité des points d'eau inventoriés dans le cadre de cette étude permet de tracer une carte salinité avec une précision satisfaisante (soit celle de salinité en surface). Cependant, quelques puits éloignés ayant une eau abondante et très chargée en matières organiques indiquent des doutes quant à la salinité de leur eau en raison de ne pas en tenir compte.

La carte ainsi tracée est très semblable à celle de la géométrie. En prenant de cette carte, on peut partager la nappe stratigraphique en plusieurs zones suivant la raison sur de l'eau :

1. Zone d'eau douce : avec $S.S < 3 \text{ g/l}$. Elle se situe au sud de la nappe et au piedmont de la petite chaîne montagneuse d'El Kather et comprend les bassins de Suez et Kather et les Moulins.

2. Zone d'eau de qualité moyenne : avec $3 \text{ g/l} < S.S < 5 \text{ g/l}$. Ce sont des eaux très potables mais qui peuvent contenir de l'azote et l'interprétation de quelques cultures marécageuses et irriguées.

Cette zone inclut les régions de Kitchaou et de Tahr et étende à l'est le long des cours principaux.

3. Zone d'eau saumâtre : avec $S.S > 5 \text{ g/l}$. C'est la partie où se situe la nappe avec le bassin des sources et des Sakkhat.

L'oued Tissai, qui arrose presque toute la vallée, contribue à l'alimentation et l'abaissement de la nappe du Saïan, en effet, l'inclinaison à g/l enveloppe l'oued tout en dépassant vers l'est les zones arides du Saïan et de Kerkennah.

Le même aspect s'observe à ouest Laâyoune et dans le sud, or, l'affaiblissement de la nappe dans la région de Chemila empêche l'extension d'eau relativement fraîche vers l'est.

La portion de la nappe à E.S. exceptuellement inférieure à 5 g/l à l'altitude de Chemila résulte de l'infiltration des eaux par l'intermédiaire du caillol marbre.

Il s'avère important de noter que l'oued Chemila et oued Saïan se situent à moins de 100 m de l'oued et que l'épaisseur dépassant les deux cours d'eau n'est pas grande que par les zones où un sol sablo-limoneux peu élevé. Il paraît que oued Saïan a changé de lit et se dirigeant vers la dépression de Sidi-Bel-Abbes Chemila. Depuis son état actuel, l'oued Saïan dont les apports annuels moyens sont évalués à 1.05.10⁶ m³, laisse avec chaque crue les eaux de ruissellement accumulées par évaporation et aléuvium la nappe du Saïan au plus bas. En plus, en cas de débordement de cette dépression, les eaux ruisselantes font passer une grande partie des sols cultivables en très mauvais état. Une simple digue en terre de 500 m de long à peu près peut en empêcher le déviver l'oued Saïan et de le faire passer vers ouest Chemila sans passer par la dépression. Cette opération permet au plus de 100 km² géologique d'alimenter la nappe en eau fraîche en plus de l'utilisation en ses vallées et d'élargir par conséquent la nappe d'eau fraîche aux alentours du point Kebbi Akhdar Gouge à 10 km. Cette proposition a été avancée au CEA par plusieurs auteurs notamment J. L. A. L.

b) Composition chimique (voir diagramme schématique ci-dessous)

Les eaux de la nappe superficielle du Saïan appartiennent en majorité à la famille : sulfatée-sulfure, chlorure-sulfatante. Ce sont des eaux claires des aquifères solubilisateurs en climat aride. Vers l'est et à proximité des plateaux, le pourcentage des eaux qui ont été soumises à l'érosion dans la nappe favorise la prédominance des carbonatées et notamment le calcaire mais des eaux appartenant à la famille hydrocarbonatée calcaire et chlorure calcaire.

Dans la direction nord-est au sens de l'assèchement assouplissant et parallèlement à la chaîne de Belkacem, on note une渐变 successive des eaux des différentes régions depuis ouest Saïan et jusqu'à Belkacem Reg El Maktzen au Sud sauf au niveau d'ouest Saïan où l'eau montre une déficience en éléments Na et Cl. Ce déficit s'explique par la fixation des ions par les argiles intercalées dans les grottes triasiques ou/et par l'action du lessivage des eaux des crêtes.

Dans le sens de l'érosion assouplissant, l'eau se charge en Na et plus rapidement en ion Cl. Les ionogénies carbonatées ne sont pas encore stabilisées étant donné le cours assez peu couru. De surcroît, l'assèchissement en eau par dissolution karstique et la filtration par infiltration des eaux des crêtes a entraîné sur le diagramme Schématique avec des figures translucides et des droites plus ou moins pentues les deux par rapport aux autres.

FIGURA 1 - Estimativa da evolução da taxa de crescimento de massa
de rizos de cana-de-açúcar em função do tempo.

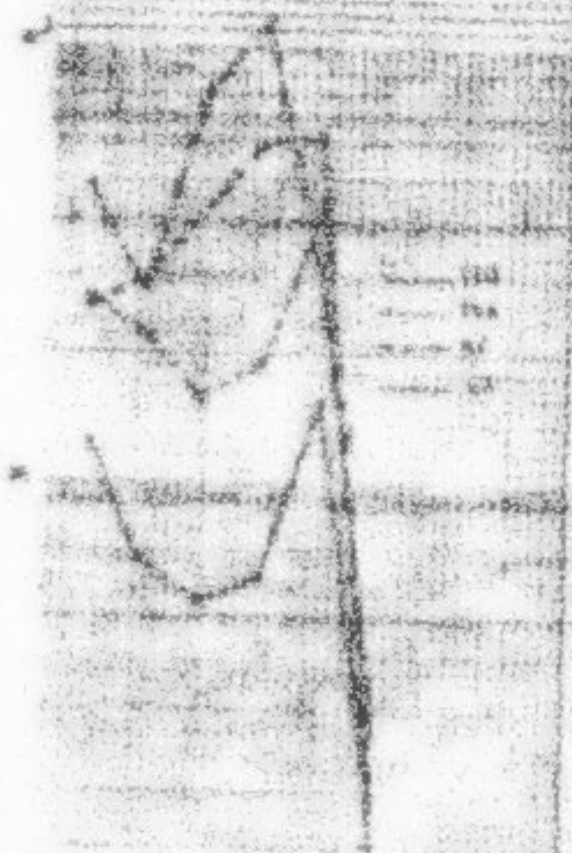
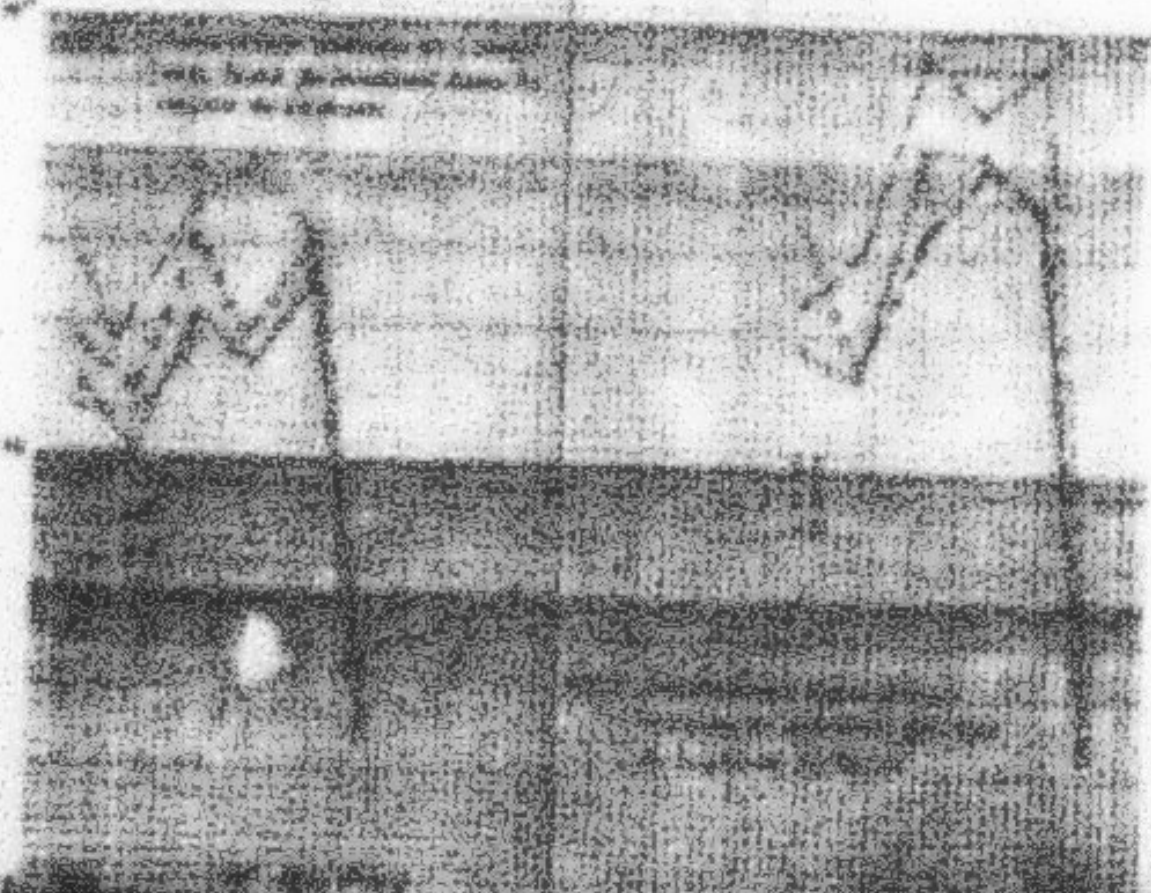


FIGURA 2 - Estimativa da evolução da massa
de rizos de cana-de-açúcar em função do tempo.



FIGURA 3 - Evolução da produtividade da cana-de-açúcar em função do tempo.



Les échanges de base toujours en cours entraînent la fixation des alcalinotérreaux de l'eau avec des indices très variables entre 0,67 et 0,1. Les valeurs les plus faibles sont atteintes dans l'eau. Dans la partie intermédiaire, c'est l'inverse qui se produit avec libération des alcalinotérreaux de l'eau. Dans la partie finale, il n'existe un équilibre ionique sans échange de base.

L'évolution normale de la charge des eaux de cette nappe est perturbée à six reprises par l'effet des eaux souterraines à l'évacuation dans les Gébiers et les zones où le nappe est sub-affleurante.

Il s'agit nécessaire de noter les particularités importantes du niveau aquifère capté par le nouveau puits de Mazing Béchade (M¹ loc. 211, fig. 3). Ce puits a rencontré un calcaire submergant correspondant à la nappe phréatique actuelle (8,8, 9,5 à 9,8) et a capté vers 42m un niveau aquifère très peu chargé dont l'eau ne caractérise pas son R.D. En 2,50 m³/s une garnissage consiste avec les eaux de surface à quelques km au sud. Cet égouttement a été suivi par la nappe phréatique au niveau en fait de compensation, soit à 9,8 m de profondeur de la nappe dans la région de Kirchau. Ainsi que le niveau aquifère en charge créé par ce puits est facile dans la nappe phréatique alors qu'il présente le ce fait un état d'oxydation nubien des eaux souterraines dans le sens de l'écalement de la nappe.

Les eaux aquifères connues dans le H. El Khouf (fig. 3, M¹ loc. 5) et celle de H. El Khatib ont des caractéristiques physico-chimiques et géologiques particulières puisqu'elles proviennent du complexe Farouk-Tura par l'intermédiaire des falaises.

Les sources de trop plein sortent de la partie ouest de la nappe phréatique et présentent pour énormément la même allure d'évolution géologique que cette partie de la nappe du Bassin.

LES FALAISSES DE L'EST DE LA NAPPE.

a) DÉBUT DE SOURCE

SOUS Q + TUR.

Le tracé hydrologique 7 correspond à la coupe des falaises-est de Farouk sur les graphiques de la coupe, n° 7 (fig. 3). Celle-ci passe aux assises turquoises offertes sur quelques mètres de la partie du Bassin érosionné. De quoi des eaux aquifères artésiennes puisquent associées à leur nappe de rebord aussi. Ces eaux sont issues de grottes fissurées.

Le gradient hydrologique 7 est calculé à moins de 100 mètres sous nos puits nivels de milieux dans la ligne de coupe. La précision est satisfaisante.

Le front de nappe 1, pour le plus enfoncé et le plus enlevant des nivels, n'a pas pu être porté.

2- DÉTAILS GÉNÉRAUX (EXCÉPTEUR + 1000 X K.G.T.)

a) Réseau de Réservoirs: $T_1 = 410^{-3} \text{ m}^3/\text{s}$, $T_2 = 16,38 \text{ m}$
 $\Delta h = 4,67 \text{ m}$ et $Q_1 = 181,3 \text{ l/s}$.

b) Réseau de Rivières: $T_1 = 220^{-3} \text{ m}^3/\text{s}$, $T_2 = 2 \text{ m}$ et $L_0 = 67900 \text{ m}$,
 $\Delta h = 27,0 \text{ l/s}$
 $\Delta h = 200,3 \text{ l/s}$

3- DÉTAILS MÉTÉOROLOGIQUES (EXCÉPTEUR + 1000 X K.G.T.)

a) Température de l'air: $T_1 = 30^{-3} \text{ °C}$, $T_2 = 6,38 \text{ °C}$
 $\Delta T = 16,64 \text{ °C}$ et $Q_1 = 0,5 \text{ l/s}$

b) Température de l'eau: $T_1 = 410^{-3} \text{ m}^3/\text{s}$, $T_2 = 16,38 \text{ m}$
 $\Delta T = 27,0 \text{ l/s}$ et $Q_1 = 181,3 \text{ l/s}$.

c) Température de la rivière: $T_1 = 210^{-3} \text{ m}^3/\text{s}, T_2 = 2 \text{ m}$
 $\Delta T = 27,0 \text{ l/s}$, on peut supposer que $Q_1 = 21 \text{ l/s}$

Le débit moyen du réseau est:

Un tel débit de décharge résulte par un mélange de deux eaux
dans une proportion de 1 à 1.

4- RÉSULTATS D'ÉVALUATION

Évaluation des pressions hydrostatiques par la méthode d'approximation au sens que le résultat approximatif $\hat{P}_1 + Q_1 \cdot \Delta h$ où Q_1 est la somme proportionnelle des pressions hydrostatiques, c'est-à-dire d'eau de ruissellement.

$Q_1 = Q_1 + Q_{12} + Q_{13}$ la coefficient d'approximation.

$Q_1 = Q_1 + Q_{12} + Q_{13}$: le rapport du R.R. $T_1 = 30$ (rapport du R.R.) et coefficient d'approximation de cette même proportion.

Les résultats sont comparés aux résultats obtenus :

1) Calculs : résultat d'évaluation de la pression hydrostatique pour les deux méthodes.

Nom du cours d'eau	$\frac{Q_1}{Q_1 + Q_{12} + Q_{13}}$			$\frac{P_1}{P_1 + P_{12} + P_{13}}$	$\frac{P_2}{P_2 + P_{12} + P_{13}}$	$\frac{\Delta h}{\Delta h + \Delta h_{12} + \Delta h_{13}}$
	Q_1	Q_{12}	Q_{13}			
1. Thérain	0,88,9	0,01	0,01	0,88	0,01	0,01
2. Oise	0,73	0,26	0,01	0,73	0,26	0,01
3. Ourcq	0,4,1	0,19	0,01	0,41	0,19	0,01
4. Eure	0,8,0	0,12	0,01	0,80	0,12	0,01
5. Si. Marne	0,79,7	0,20	0,01	0,79	0,20	0,01
6. Marne	0,6,2	0,36	0,01	0,62	0,36	0,01
7. Jauré	0,7,3	0,07	0,01	0,73	0,07	0,01
8. Yonne	0,78,0	0,19	0,01	0,78	0,19	0,01

Il faut donc au total des ressources renouvelables de 81.77.61,0
12.45 10⁶ m³/an soit 89 % provenant d'eau de pluie.

Il ne faut pas perdre de vue qu'il se passe peu de temps
d'insuffisance d'eau d'une nappe phréatique lorsqu'elle est dans
l'aire de la répartition fluo-pélagositaire.

L'alimentation en fait essentiellement par les eaux des cours
et l'infiltration directe d'eau de pluie le long des îles d'origine.
En outre, l'alimentation par l'eau de pluie devrait être suffisante
des conditions climatiques et topographiques de la partie ouest
de la plaine du Boer.

Pour les deux méthodes d'estimation des réserves exploitables,
on n'a pas intégré dans le calcul les eaux saillantes de la partie ouest
de la nappe. Ainsi, concernant la méthode de Baray, on a reporté à
l'insuffisance 1000 10⁶ m³, qui suit à peu près l'écoulement 5 km au lieu
de 10 km au sud de l'insuffisance + 100 10⁶ m³. Située dans la vaste partie
ouest de la nappe, il faut à la méthode d'infiltration, on n'a pas
porté au renouvellement ni l'alimentation provenant d'eau de pluie, ni
celle provenant de la crête de cuesta d'ouest qui passe par la partie
saillante de la nappe.

Rafraîchi, les deux méthodes d'évaluation des ressources ont
donné une valeur assez voisine. On considère comme débit exploitable
de la nappe qui forme la moyenne arithmétique.

$$8 \cdot 80.482 + 63.128 = 70.520 \text{ l/s}$$

Le débit total d'exploitation qui résulte d'une enquête directe
tant au regard compte du débit d'origine de chaque puits est évalué
à 50 l/s ce qui permet de renouveler dans l'avenir un débit de 50 l/s.

3.2.4 Projet(s) :

On se basera sur les données hydrogéologiques susmentionnées
concernant la partie de la nappe phréatique de fait et la saillante
des îles inférieures à 5 km, en renseignant sur la situation et l'assèchement
de l'aire conformément aux informations suivantes :

- Suppression de 40 puits dont ceux appartenant aux dernières
pâtes et au moins le long d'ouest vers l'est;
- Réduction de 50 nouveaux puits dans la zone à saillante saillante

On rappelle que les sources des villages de Kechau et
de Gao sont le domaine d'une forte densité de puits. Ensuite, les
populations présumées se situent par ordre croissant dans
celle de Guéckédou, Di Nouna, Koofia et aussi Fass.

4. CONCLUSION

Cette étude préliminaire de la plaine du Boer a fait de
notre part quelques éléments hydrogéologiques. Le plus important
de cette partie de la plaine.

Il s'agit d'une zone effondrée, pénéplaine et tapissée par une mince couverture de remplissage mio-pliocène et quaternaire entaillée par des nombreux oueds. Sous cette couverture, le Trias Inférieur constitué des grès intercalés de couches argileuses se prolonge en profondeur jusqu'à plusieurs centaines de mètres.

Sur le plan hydrogéologique, les caractéristiques de la nappe profonde récalée dans les grès triassiques sont très peu connues. C'est une nappe multicouche salée et faiblement artésienne dans la zone située à l'Est de Kirchou et en allant vers Ben Goerdene. Sa salinité devient tolérable en allant vers l'Ouest.

Logée dans le remplissage et les grès triassiques, la nappe phréatique du Saar intéressera toute la plaine avec des variations d'une région à l'autre des paramètres hydrodynamiques et hydrochimiques.

La carte piézométrique et la carte de salinité, établies pour la première fois dans le cadre de ce travail, montrent que la nappe phréatique du Saar s'écoule d'Oussai vers l'Est et s'assèche essentiellement par les eaux de crues le long des oueds principaux et surtout le long d'oued Fessi. Ces cartes permettent, également, de subdiviser cette nappe en deux parties distinctes :

- Une partie enclavée peu exploitée où l'eau est douce et le N.S. est relativement assez profond (15 à 30m).

- Une partie sur-salée située en aval et qui constitue l'extinctoire de la nappe avec la présence des Sékhata, des sources. Le N.S. y est sub-affleurant. Des nombreux puits y sont creusés vainement dont certains sont équipés par O.M.P. La salinité rend les eaux inaptes à l'utilisation.

L'exploitation actuelle dans la partie enclavée n'aide pas les 92 % des ressources renouvelables. Pour mobiliser les eaux restantes, on propose la création de 50 nouveaux puits et l'équipement de 40 autres puits existants.

Les travaux de C.E.S. déjà programmés dans le cadre du projet oued Fessi dans la partie ouest de la plaine du Saar et la déivation de l'écoulement de O. Saar sont en mesure d'apporter des améliorations non négligeables en ce qui concerne la quantité et la qualité des ressources d'eau souterraine de cette nappe.

H. YANYAGUI

BIBLIOGRAPHIE

- CH. DEMARCK, 1971
A. BOUAFI ET C. CHAPUT : Etude de l'hydrobiologie des eaux courantes de la rivière Tana.
- A. BOUAFI ET C. CHAPUT : Caractéristiques hydrobiologiques d'un cours d'eau de l'île de Mayotte. Note préliminaire. Mémoires de l'Institut océanographique, tome 1.
- G. MUSSET : Le Maréchal Tanguy. Ses fonctions, sa mort et quelques faits politiques aux dernières élections législatives de 1958. Paris.
- BERKALY, 1959
- A. BOUAFI ET AL. 1983 : Répartition des amphibiens dans les cours d'eau de la région de l'île de Mayotte. Corrélation hydrobiologique entre l'habitat aquatique des amphibiens et le caractère du milieu écosystémique de l'île de Mayotte.

OBSTACLES

PROBLEME

- Inventaire des points d'eau de la plaine du Saar (3p)
- Répartition des points d'eau résiduels dans la région du Saar (1p)
- Analyse statistique des quelques points d'eau dans la plaine du Saar (3p)

PROBLEME

- Carte géologique
- Analyse géologique à travers la plaine L. Saar
- Composition stratiq (diagramme horizont.)
- Remarques sur les roches porphyre et stéatite.

intercalée dans le
texte

PROBLEME

- Carte des points d'eau et de la拔voile
- Carte géologique
- Carte des phénomènes hydrographiques

www.east-west-studio.com

06.21.2008 08:31 Page 209 20 Years Ago

2008-14-PREC170 pg 344

Glaucometer mit Tastensteuerung

Row	Name	Age	AEDs Used		Other Devices		Comments
			W	R	T	U	
1	John Doe	45	120	100	90	80	100
2	Michael Lee, MD	30	150	130	110	90	100
3	Robert Johnson	55	140	120	100	80	100
4	James Lee, MD	55	130	110	90	70	100
5	Bob Lee, MD	50	140	120	100	80	100
6	John Lee, MD	50	130	110	90	70	100
7	Mike Lee, MD	45	140	120	100	80	100
8	John Lee, MD	45	130	110	90	70	100
9	Paul Lee, MD	45	120	100	80	60	100
10	Mike Lee, MD	45	110	90	70	50	100
11	John Lee, MD	45	100	80	60	40	100
12	Mike Lee, MD	45	90	70	50	30	100
13	John Lee, MD	45	80	60	40	20	100
14	Mike Lee, MD	45	70	50	30	10	100
15	John Lee, MD	45	60	40	20	10	100
16	Mike Lee, MD	45	50	30	10	0	100
17	John Lee, MD	45	40	20	0	0	100
18	Mike Lee, MD	45	30	0	0	0	100
19	John Lee, MD	45	20	0	0	0	100
20	Mike Lee, MD	45	10	0	0	0	100
21	John Lee, MD	45	0	0	0	0	100
22	Paul Lee, MD	45	120	100	90	80	100
23	Mike Lee, MD	45	110	90	80	70	100
24	John Lee, MD	45	100	80	70	60	100
25	Mike Lee, MD	45	90	70	60	50	100
26	John Lee, MD	45	80	60	50	40	100
27	Mike Lee, MD	45	70	50	40	30	100
28	John Lee, MD	45	60	40	30	20	100
29	Mike Lee, MD	45	50	30	20	10	100
30	John Lee, MD	45	40	20	10	0	100
31	Mike Lee, MD	45	30	0	0	0	100
32	John Lee, MD	45	20	0	0	0	100
33	Mike Lee, MD	45	10	0	0	0	100
34	John Lee, MD	45	0	0	0	0	100
35	Paul Lee, MD	45	120	100	90	80	100
36	Mike Lee, MD	45	110	90	80	70	100
37	John Lee, MD	45	100	80	70	60	100
38	Mike Lee, MD	45	90	70	60	50	100
39	John Lee, MD	45	80	60	50	40	100
40	Mike Lee, MD	45	70	50	40	30	100
41	John Lee, MD	45	60	40	30	20	100
42	Mike Lee, MD	45	50	30	20	10	100
43	John Lee, MD	45	40	20	10	0	100
44	Mike Lee, MD	45	30	0	0	0	100
45	John Lee, MD	45	20	0	0	0	100
46	Mike Lee, MD	45	10	0	0	0	100
47	John Lee, MD	45	0	0	0	0	100
48	Paul Lee, MD	45	120	100	90	80	100
49	Mike Lee, MD	45	110	90	80	70	100
50	John Lee, MD	45	100	80	70	60	100
51	Mike Lee, MD	45	90	70	60	50	100
52	John Lee, MD	45	80	60	50	40	100
53	Mike Lee, MD	45	70	50	40	30	100
54	John Lee, MD	45	60	40	30	20	100
55	Mike Lee, MD	45	50	30	20	10	100
56	John Lee, MD	45	40	20	10	0	100
57	Mike Lee, MD	45	30	0	0	0	100
58	John Lee, MD	45	20	0	0	0	100
59	Mike Lee, MD	45	10	0	0	0	100
60	John Lee, MD	45	0	0	0	0	100
61	Paul Lee, MD	45	120	100	90	80	100
62	Mike Lee, MD	45	110	90	80	70	100
63	John Lee, MD	45	100	80	70	60	100
64	Mike Lee, MD	45	90	70	60	50	100
65	John Lee, MD	45	80	60	50	40	100
66	Mike Lee, MD	45	70	50	40	30	100
67	John Lee, MD	45	60	40	30	20	100
68	Mike Lee, MD	45	50	30	20	10	100
69	John Lee, MD	45	40	20	10	0	100
70	Mike Lee, MD	45	30	0	0	0	100
71	John Lee, MD	45	20	0	0	0	100
72	Mike Lee, MD	45	10	0	0	0	100
73	John Lee, MD	45	0	0	0	0	100
74	Paul Lee, MD	45	120	100	90	80	100
75	Mike Lee, MD	45	110	90	80	70	100
76	John Lee, MD	45	100	80	70	60	100
77	Mike Lee, MD	45	90	70	60	50	100
78	John Lee, MD	45	80	60	50	40	100
79	Mike Lee, MD	45	70	50	40	30	100
80	John Lee, MD	45	60	40	30	20	100
81	Mike Lee, MD	45	50	30	20	10	100
82	John Lee, MD	45	40	20	10	0	100
83	Mike Lee, MD	45	30	0	0	0	100
84	John Lee, MD	45	20	0	0	0	100
85	Mike Lee, MD	45	10	0	0	0	100
86	John Lee, MD	45	0	0	0	0	100
87	Paul Lee, MD	45	120	100	90	80	100
88	Mike Lee, MD	45	110	90	80	70	100
89	John Lee, MD	45	100	80	70	60	100
90	Mike Lee, MD	45	90	70	60	50	100
91	John Lee, MD	45	80	60	50	40	100
92	Mike Lee, MD	45	70	50	40	30	100
93	John Lee, MD	45	60	40	30	20	100
94	Mike Lee, MD	45	50	30	20	10	100
95	John Lee, MD	45	40	20	10	0	100
96	Mike Lee, MD	45	30	0	0	0	100
97	John Lee, MD	45	20	0	0	0	100
98	Mike Lee, MD	45	10	0	0	0	100
99	John Lee, MD	45	0	0	0	0	100
100	Paul Lee, MD	45	120	100	90	80	100
101	Mike Lee, MD	45	110	90	80	70	100
102	John Lee, MD	45	100	80	70	60	100
103	Mike Lee, MD	45	90	70	60	50	100
104	John Lee, MD	45	80	60	50	40	100
105	Mike Lee, MD	45	70	50	40	30	100
106	John Lee, MD	45	60	40	30	20	100
107	Mike Lee, MD	45	50	30	20	10	100
108	John Lee, MD	45	40	20	10	0	100
109	Mike Lee, MD	45	30	0	0	0	100
110	John Lee, MD	45	20	0	0	0	100
111	Mike Lee, MD	45	10	0	0	0	100
112	John Lee, MD	45	0	0	0	0	100
113	Paul Lee, MD	45	120	100	90	80	100
114	Mike Lee, MD	45	110	90	80	70	100
115	John Lee, MD	45	100	80	70	60	100
116	Mike Lee, MD	45	90	70	60	50	100
117	John Lee, MD	45	80	60	50	40	100
118	Mike Lee, MD	45	70	50	40	30	100
119	John Lee, MD	45	60	40	30	20	100
120	Mike Lee, MD	45	50	30	20	10	100
121	John Lee, MD	45	40	20	10	0	100
122	Mike Lee, MD	45	30	0	0	0	100
123	John Lee, MD	45	20	0	0	0	100
124	Mike Lee, MD	45	10	0	0	0	100
125	John Lee, MD	45	0	0	0	0	100
126	Paul Lee, MD	45	120	100	90	80	100
127	Mike Lee, MD	45	110	90	80	70	100
128	John Lee, MD	45	100	80	70	60	100
129	Mike Lee, MD	45	90	70	60	50	100
130	John Lee, MD	45	80	60	50	40	100
131	Mike Lee, MD	45	70	50	40	30	100
132	John Lee, MD	45	60	40	30	20	100
133	Mike Lee, MD	45	50	30	20	10	100
134	John Lee, MD	45	40	20	10	0	100
135	Mike Lee, MD	45	30	0	0	0	100
136	John Lee, MD	45	20	0	0	0	100
137	Mike Lee, MD	45	10	0	0	0	100
138	John Lee, MD	45	0	0	0	0	100
139	Paul Lee, MD	45	120	100	90	80	100
140	Mike Lee, MD	45	110	90	80	70	100
141	John Lee, MD	45	100	80	70	60	100
142	Mike Lee, MD	45	90	70	60	50	100
143	John Lee, MD	45	80	60	50	40	100
144	Mike Lee, MD	45	70	50	40	30	100
145	John Lee, MD	45	60	40	30	20	100
146	Mike Lee, MD	45	50	30	20	10	100
147	John Lee, MD	45	40	20	10	0	100
148	Mike Lee, MD	45	30	0	0	0	100
149	John Lee, MD	45	20	0	0	0	100
150	Mike Lee, MD	45	10	0	0	0	100
151	John Lee, MD	45	0	0	0	0	100
152	Paul Lee, MD	45	120	100	90	80	100
153	Mike Lee, MD	45	110	90	80	70	100
154	John Lee, MD	45	100	80	70	60	100
155	Mike Lee, MD	45	90	70	60	50	100
156	John Lee, MD	45	80	60	50	40	100
157	Mike Lee, MD	45	70	50	40	30	100
158	John Lee, MD	45	60	40	30	20	100
159	Mike Lee, MD	45	50	30	20	10	100
160	John Lee, MD	45	40	20	10	0	100
161	Mike Lee, MD	45	30	0	0	0	100
162	John Lee, MD	45	20	0	0	0	100
163	Mike Lee, MD	45	10	0	0	0	100
164	John Lee, MD	45	0	0	0	0	100
165	Paul Lee, MD	45	120	100	90	80	100
166	Mike Lee, MD	45	110	90	80	70	100
167	John Lee, MD	45	100	80	70	60	100
168	Mike Lee, MD	45	90	70	60	50	100
169	John Lee, MD	45	80	60	50	40	100
170	Mike Lee, MD	45	70	50	40	30	100
171	John Lee, MD	45	60	40	30	20	100
172	Mike Lee, MD	45	50	30	20	10	100
173	John Lee, MD	45	40	20	10	0	100
174	Mike Lee, MD	45	30	0	0	0	100
175	John Lee, MD	45	20	0	0	0	100
176	Mike Lee, MD	45	10	0	0	0	100
177	John Lee, MD	45	0	0	0	0	100
178	Paul Lee, MD	45	120	100	90	80	100
179	Mike Lee, MD	45	110	90	80	70	100
180	John Lee, MD	45	100	80	70	60	100
181	Mike Lee, MD	45	90	70	60	50	100
182	John Lee, MD	45	80	60	50	40	100
183	Mike Lee, MD	45	70	50	40	30	100
184	John Lee, MD	45	60	40	30	20	100
185	Mike Lee, MD	45	50	30	20	10	100
186	John Lee, MD	45	40	20	10	0	100
187	Mike Lee, MD	45	30	0	0	0	100
188	John Lee, MD	45	20	0	0	0	100
189	Mike Lee, MD	45	10	0	0	0	100
190	John Lee, MD	45	0</td				

第2卷第4期
2013年8月
总第10期

其後數日，子雲往見之。子雲曰：「吾聞子雲好學，不聞子雲好謠。」子雲曰：「吾聞子雲好謠，不聞子雲好學。」

晋书·五行志·孝武世祖

本章將會說明如何在不同的情況下，根據不同的需求，選擇最適宜的統計方法。

新嘉坡的華人社會在殖民地時期已經有過一些反對殖民統治的抗爭。

要尊重对方意愿，妥善解决分歧，促进两岸关系和平发展。

在華南地區，我們可以說是「中國人」的「中國文化」。

1980 年 10 月 1 日至 1981 年 9 月 30 日

卷之三十一

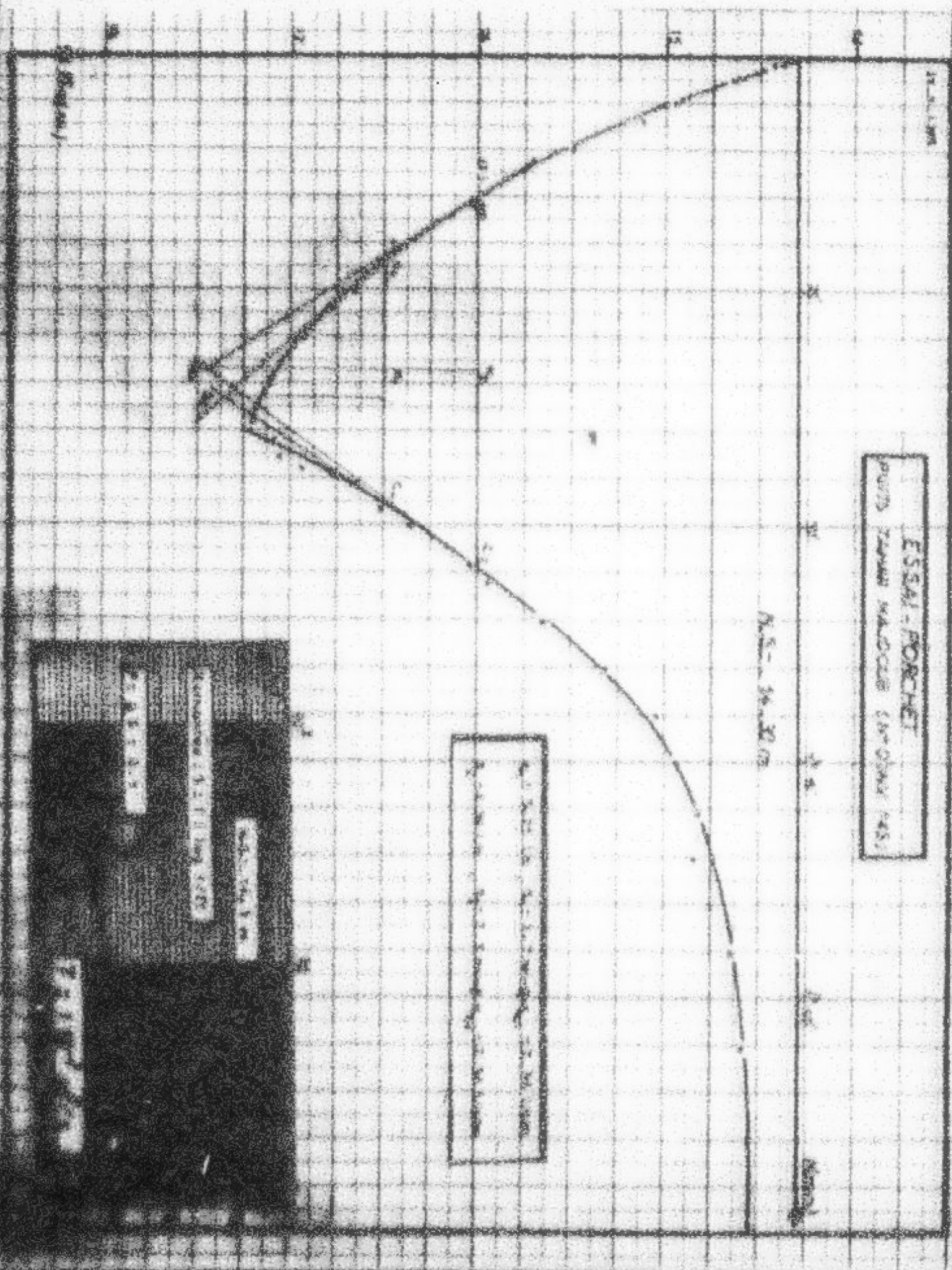
1995 1996 1997 1998 1999 2000 2001 2002 2003 2004 2005 2006 2007 2008 2009 2010

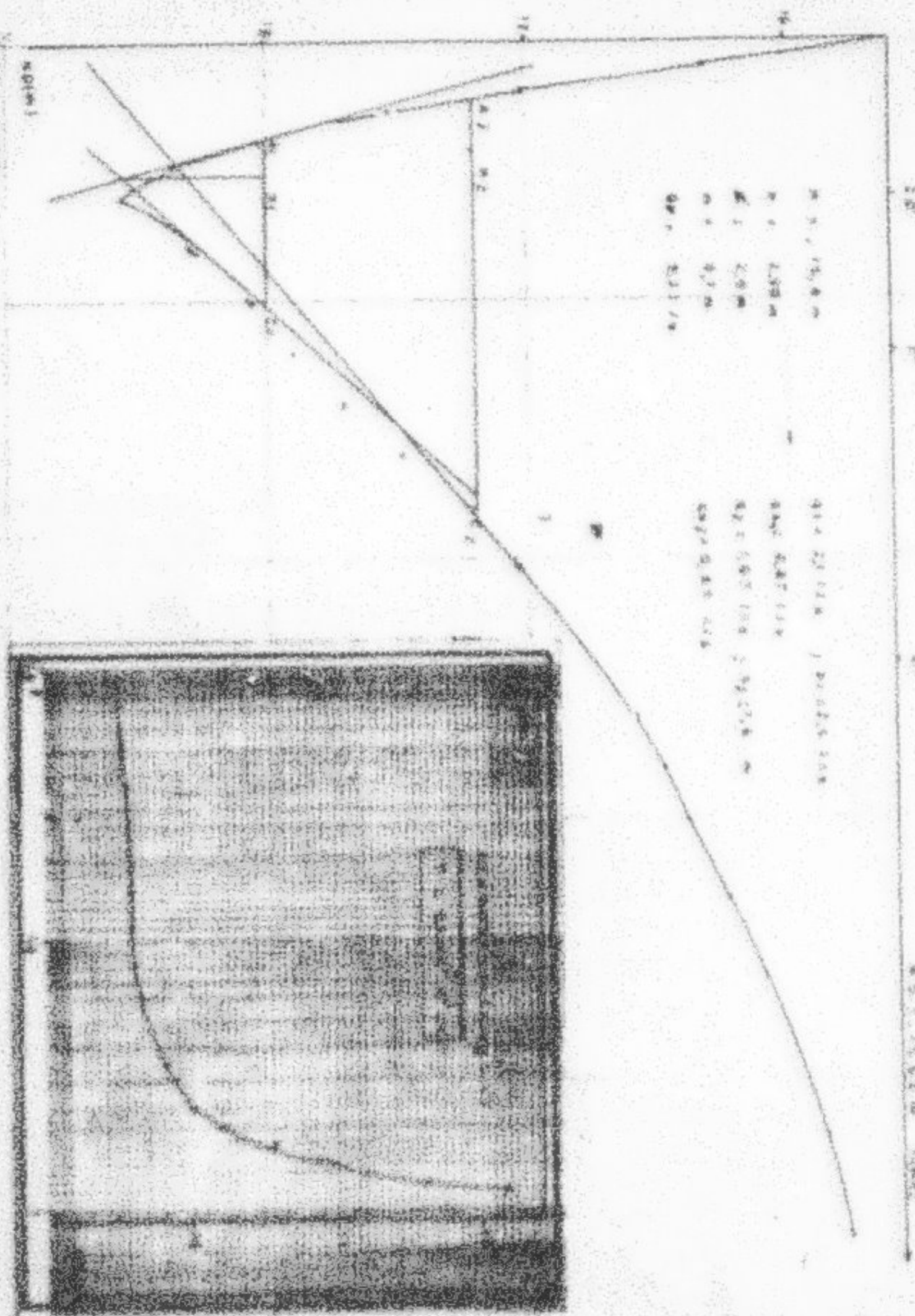
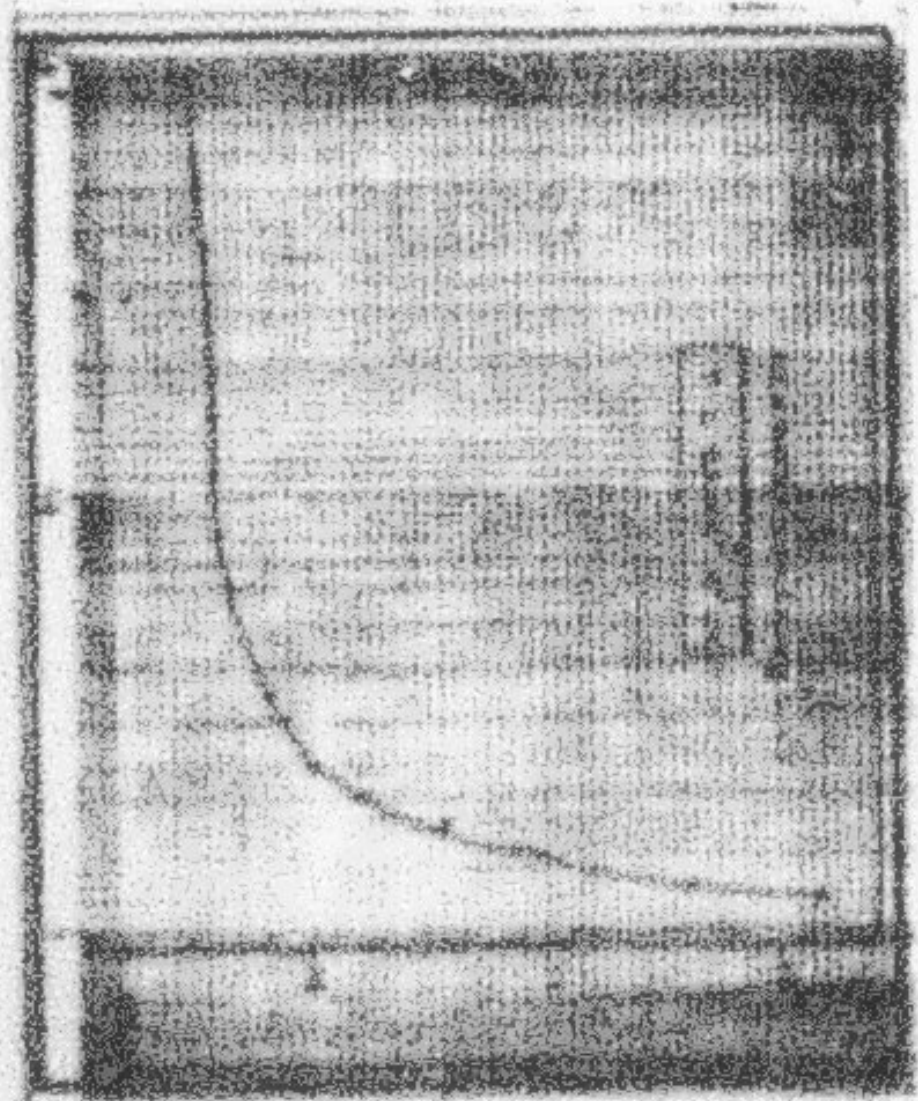
19. The following table shows the number of hours worked by 1000 workers in a certain industry.

ESSAI - PORTE

PURS. THOMAS MACCALLUM (400000000)

N.S. 36-32-03

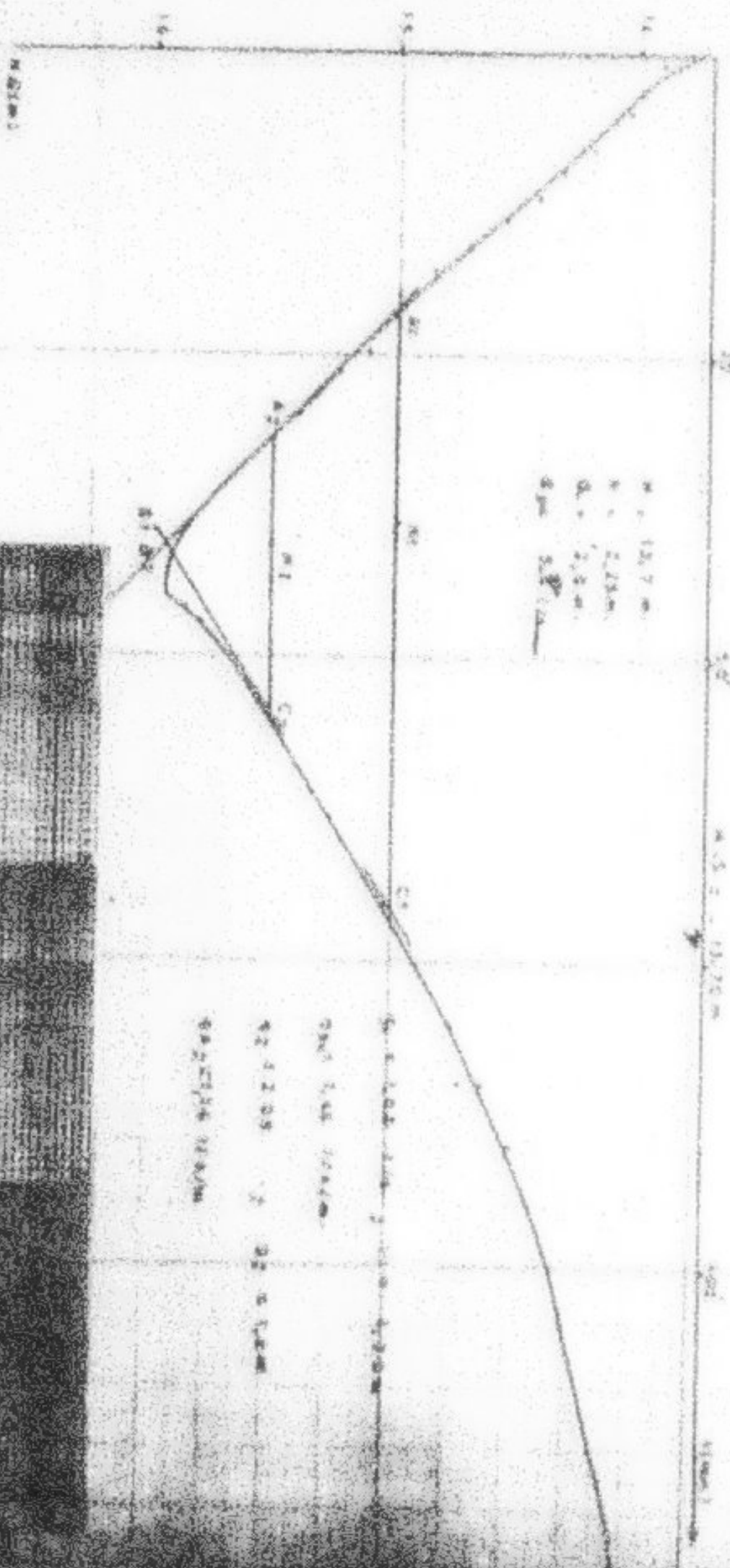




Point A is at 2000 ft above sea level

Date 5/1/1946

Instrument



ESTAI - ESTACIONES DE TERRITORIO AUTOMATIZADAS

Dato 10 22-3-1985

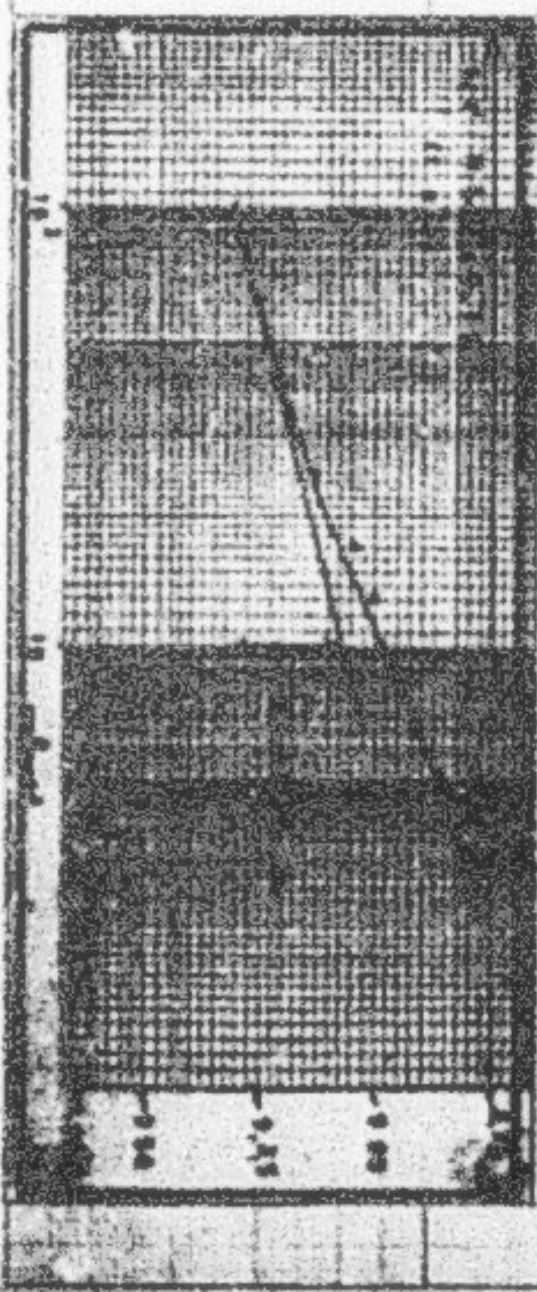
N = 1,71 m
P = 0,91 m
D = 1,6 m
S = 0,71 m

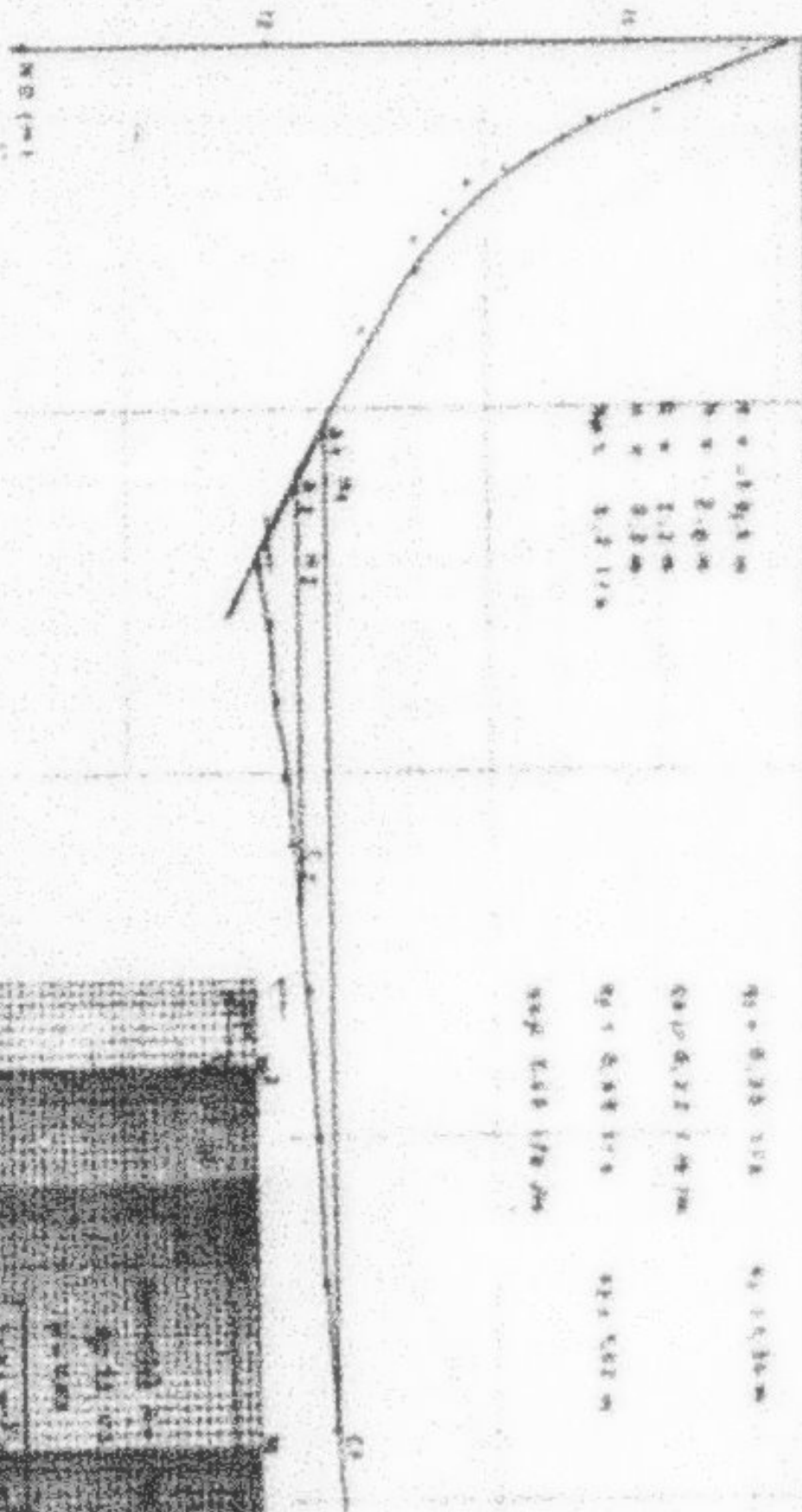
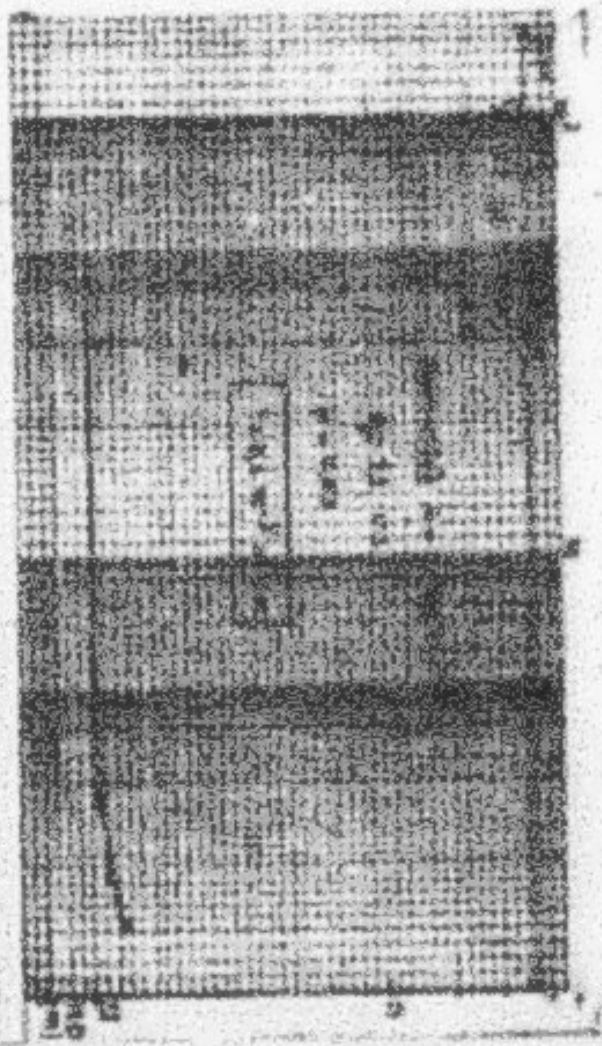
100
H = 3,2 - 0,71 m
100' (mm)



Estación aguas abajo de puente casa
Elevación agua 0,31 m
Elevación casa 0,71 m

N (m)





1000
10
 $y = x$
 $y = \sqrt{x}$
 $y = \sqrt[3]{x}$
 $y = \sqrt[4]{x}$
 $y = \sqrt[5]{x}$
 $y = \sqrt[6]{x}$
 $y = \sqrt[7]{x}$
 $y = \sqrt[8]{x}$
 $y = \sqrt[9]{x}$
 $y = \sqrt[10]{x}$

1000

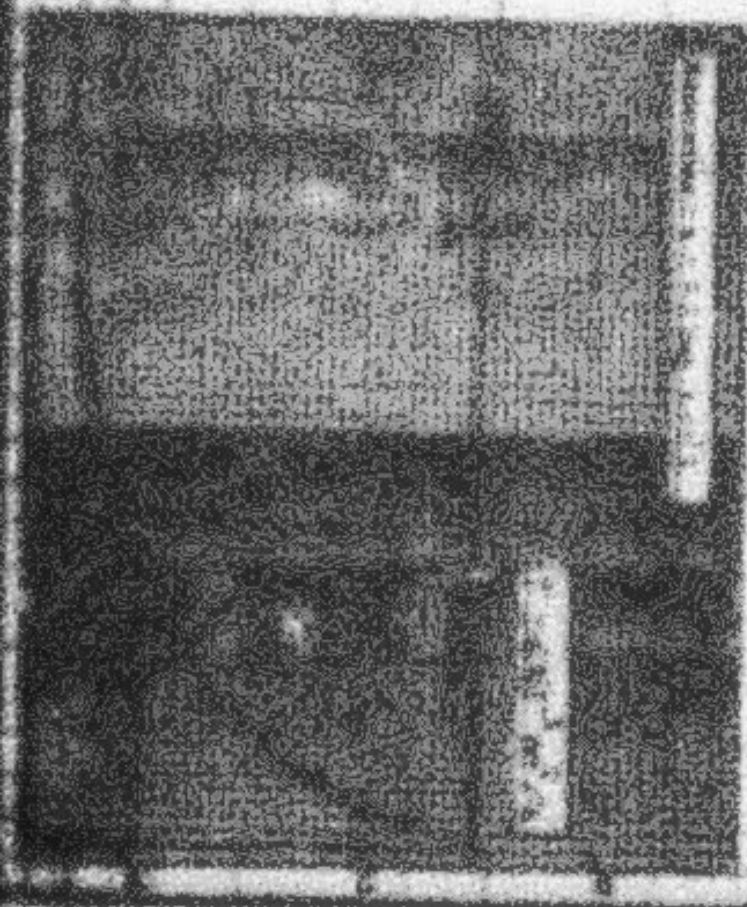
10

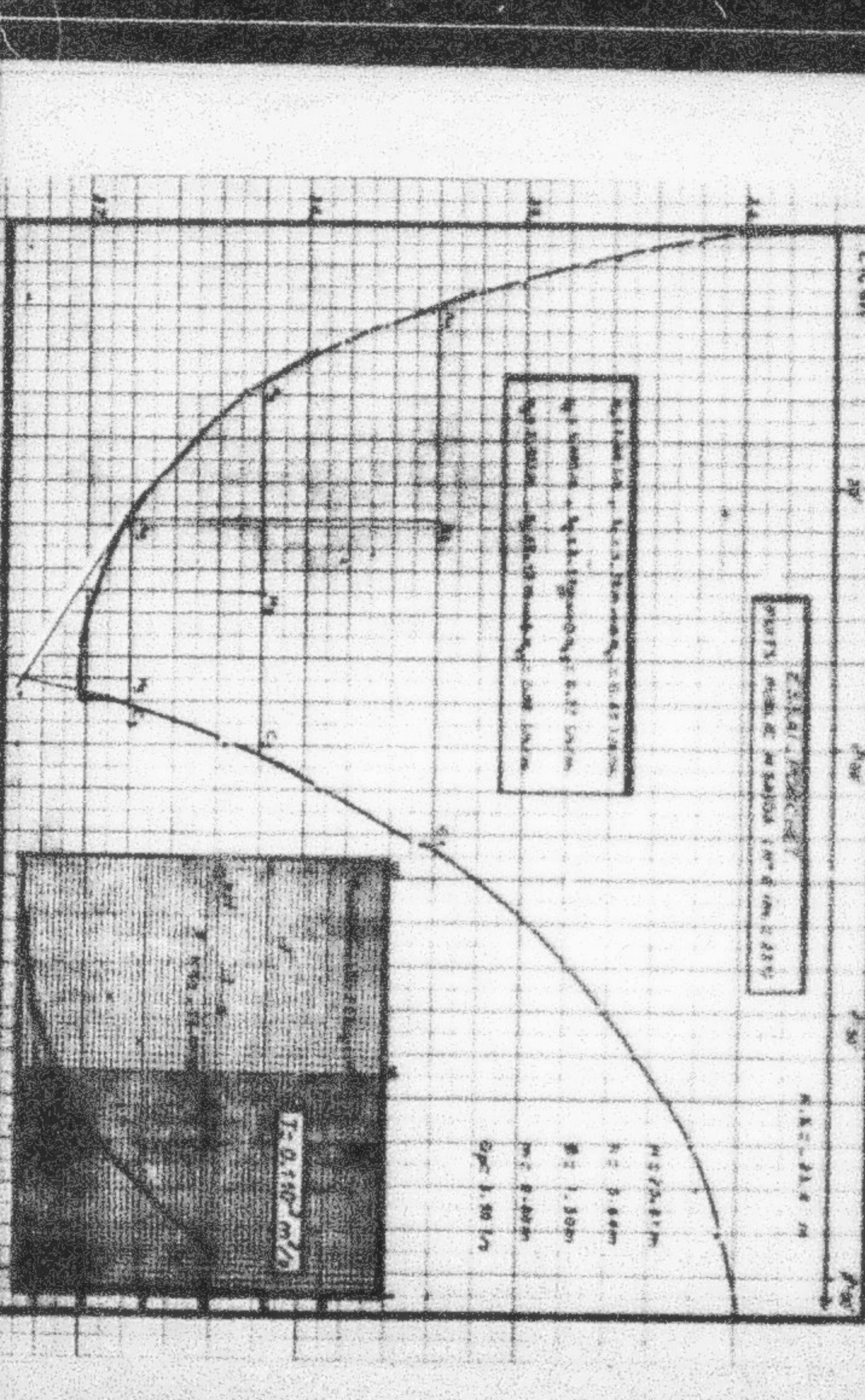
1000

ESSAI ROCHE
PARIS MUSEE DE L'ARMEE ET DES MONUM.

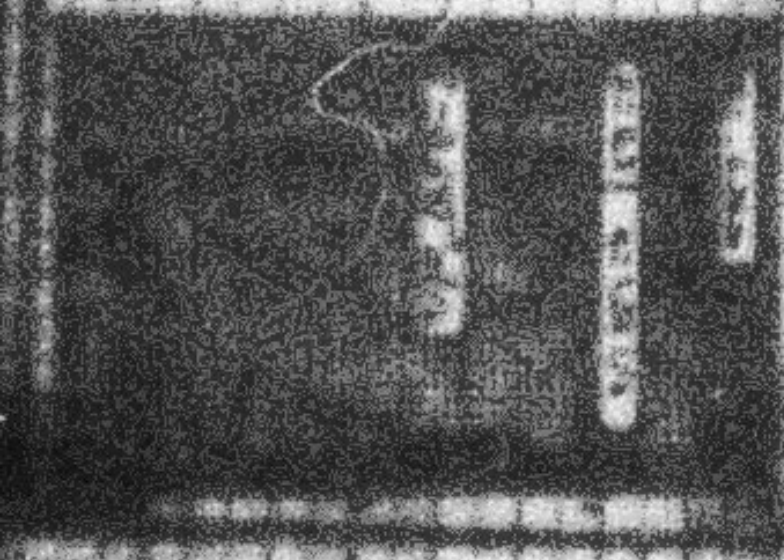
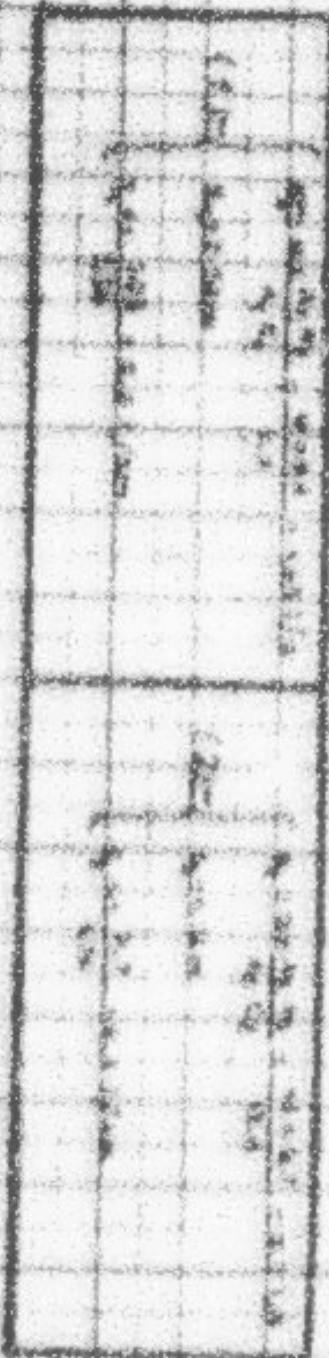
1000
1000
1000
1000
1000

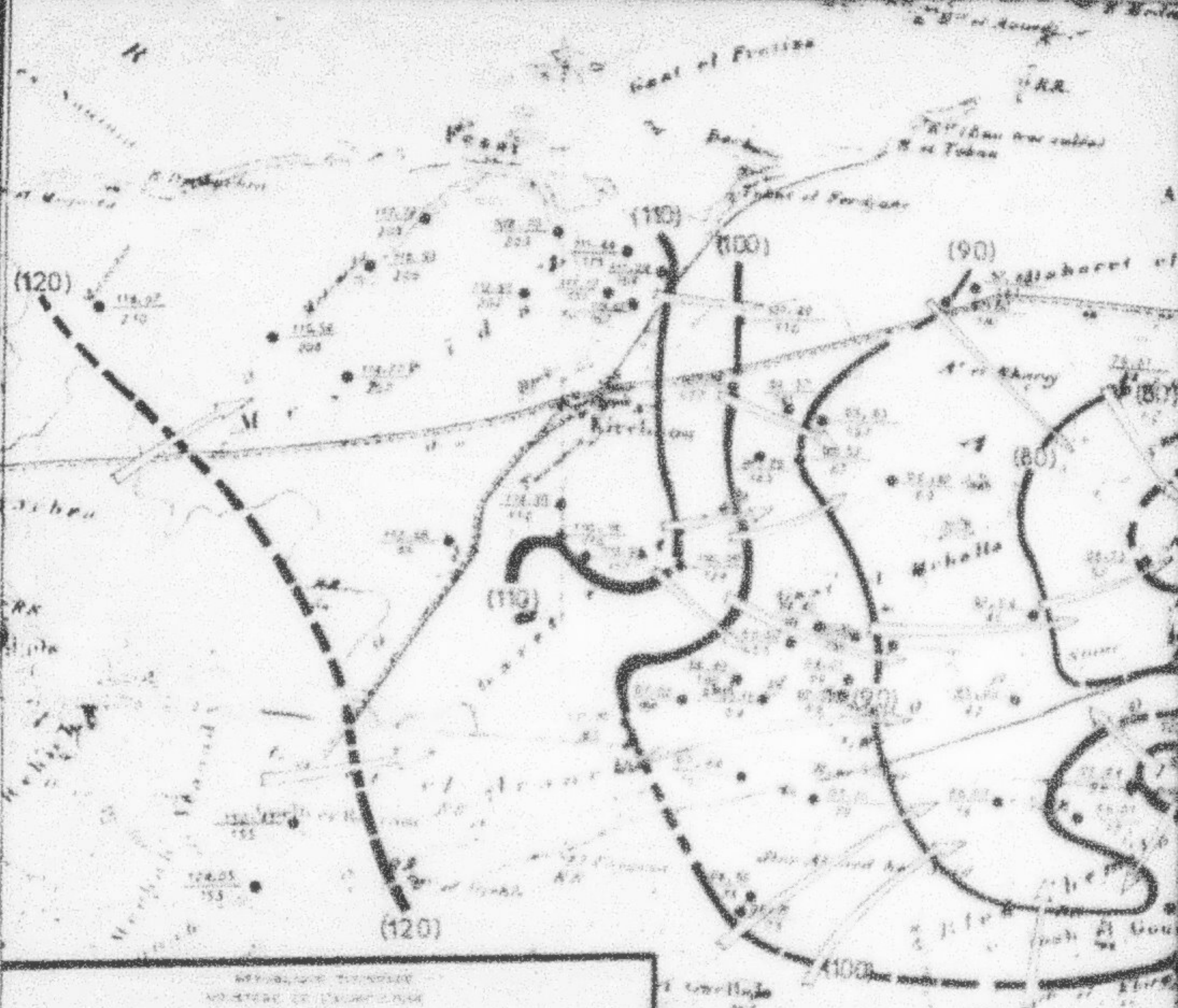
1000-12-45-00
ARMY





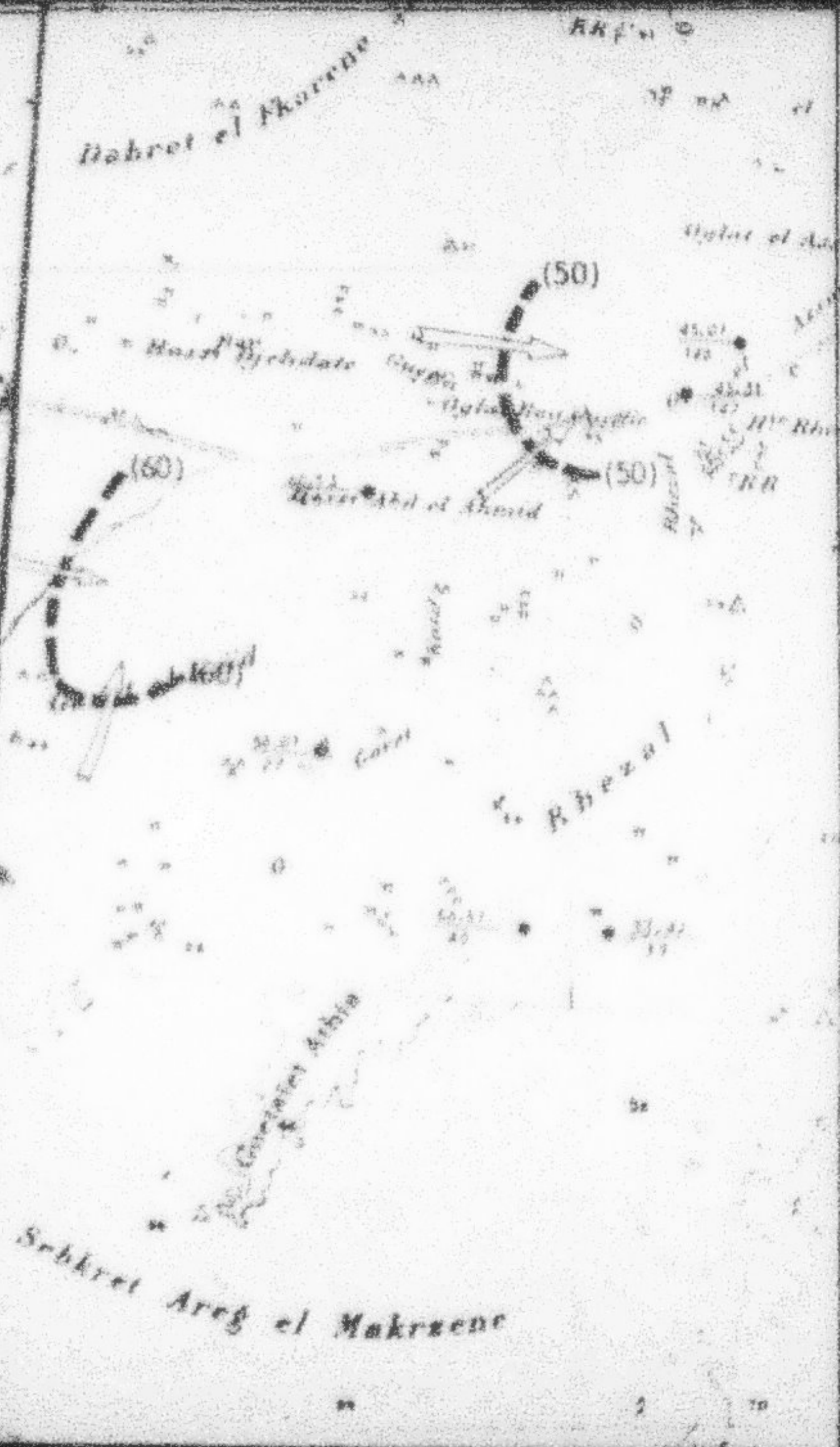
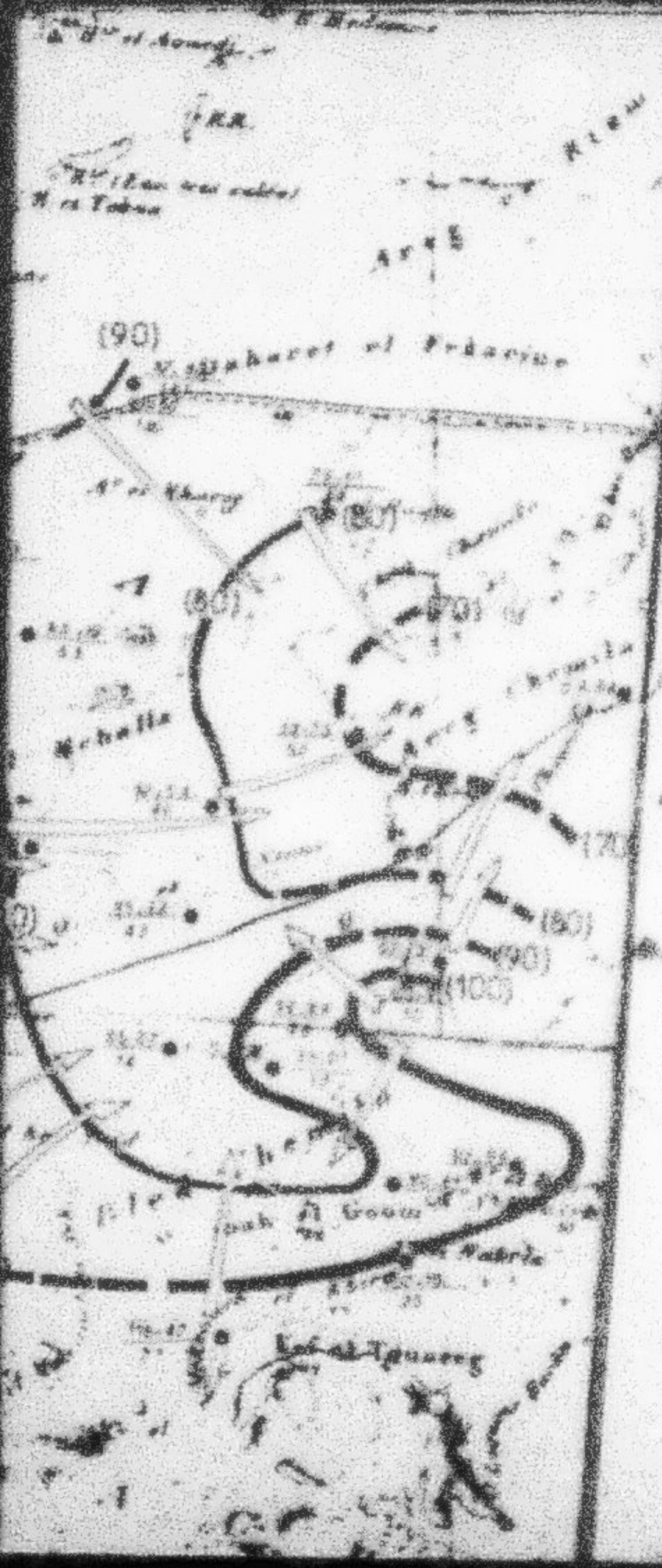
AMERICAN AIRLINE SERVICE





NAPPE PHREATIQUE DE SMAR

CARTE PÉZOMETRIQUE



NAPPE PHÉATIQUE DE SMAR

CARTE PIEZOMETRIQUE

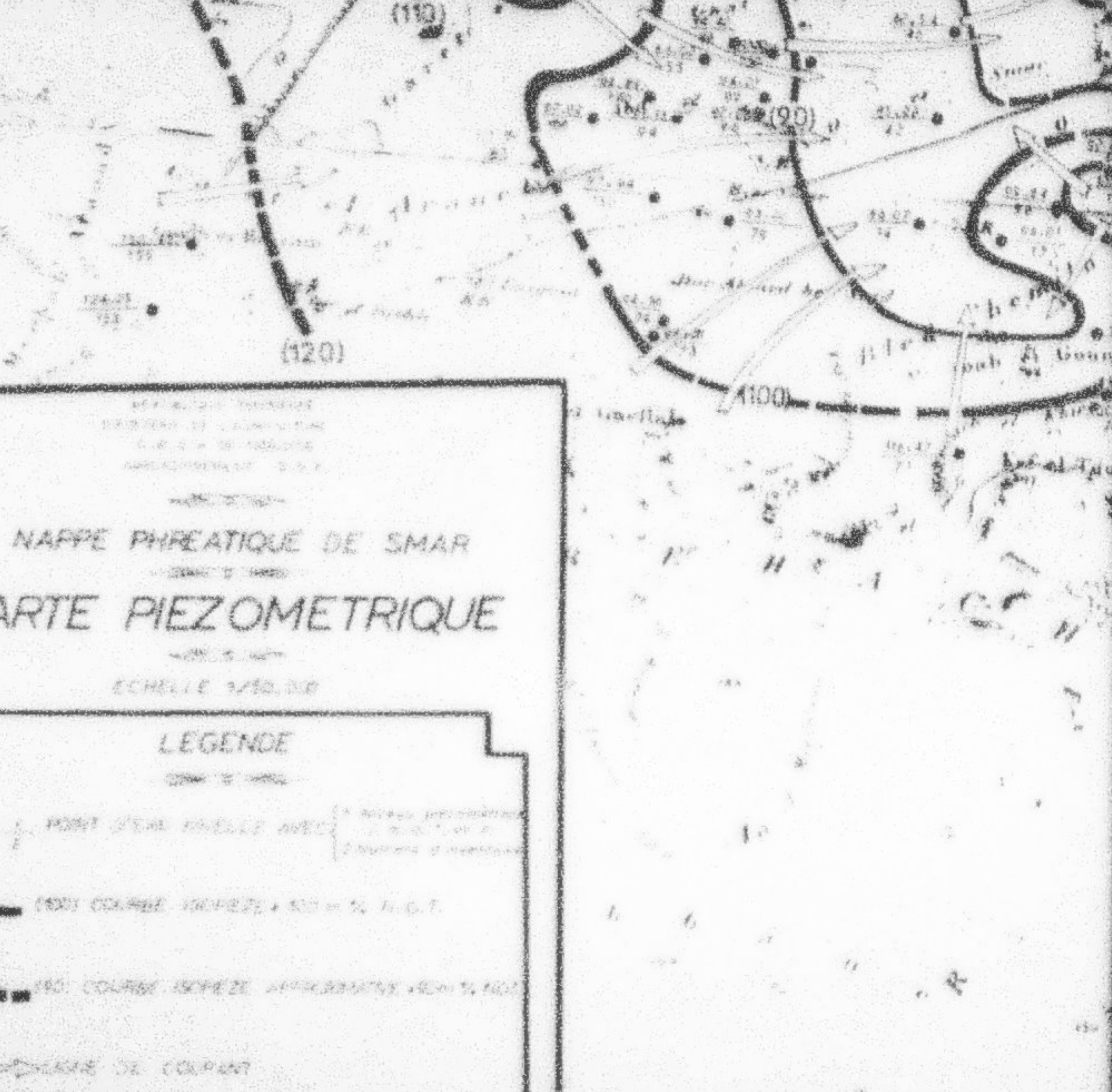
ECHELLE 1:20.000

LEGENDE

1000 CONDUIT MARQUE A 100 m. H.G.T.

100 CONDUIT MARQUE A 100 m. H.G.T.

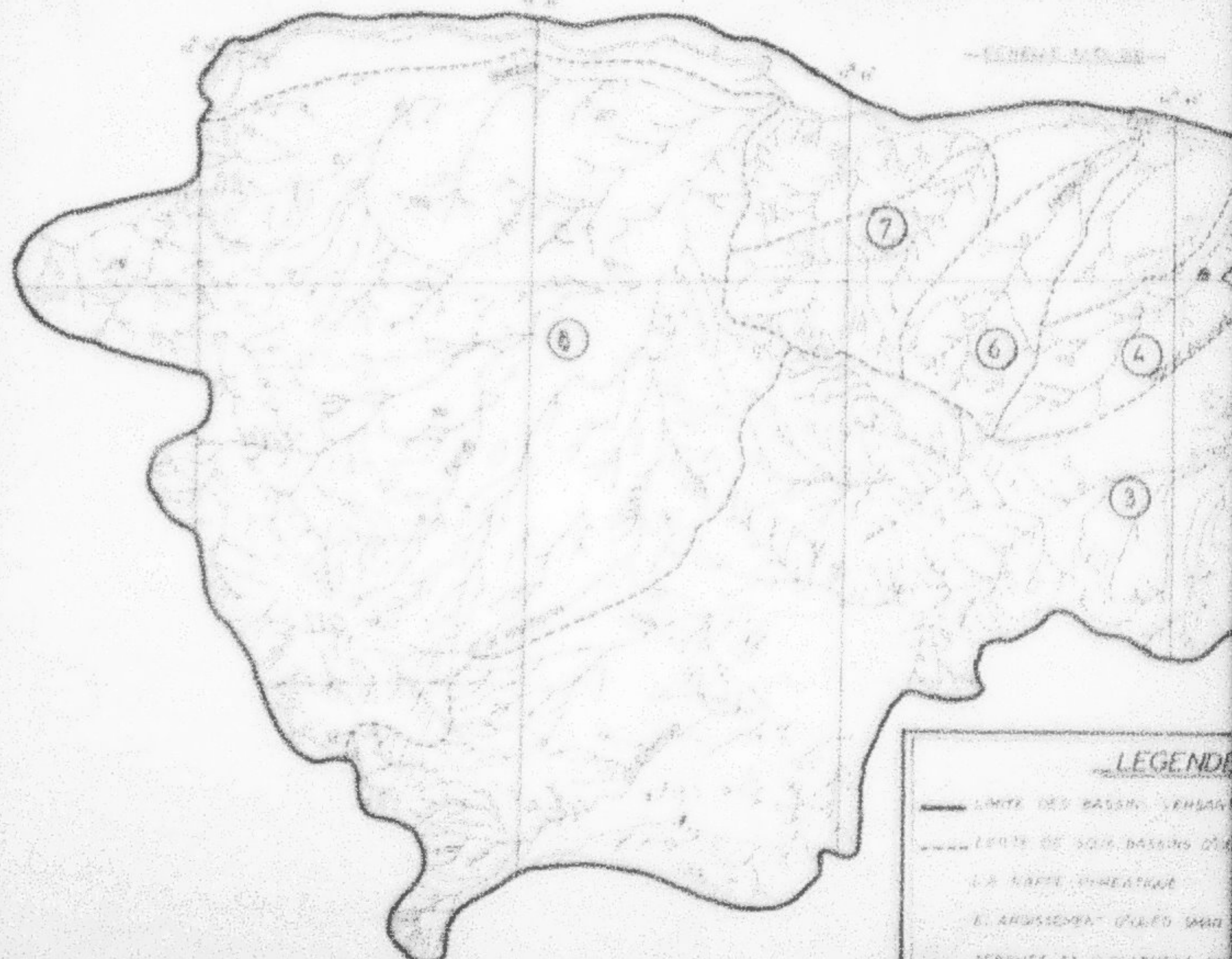
DISPARITION DU CONDUIT





CARTE DES RESEAUX HYDRI

EXTRAITE DES CARTES E.M. N° 100, 101, 102



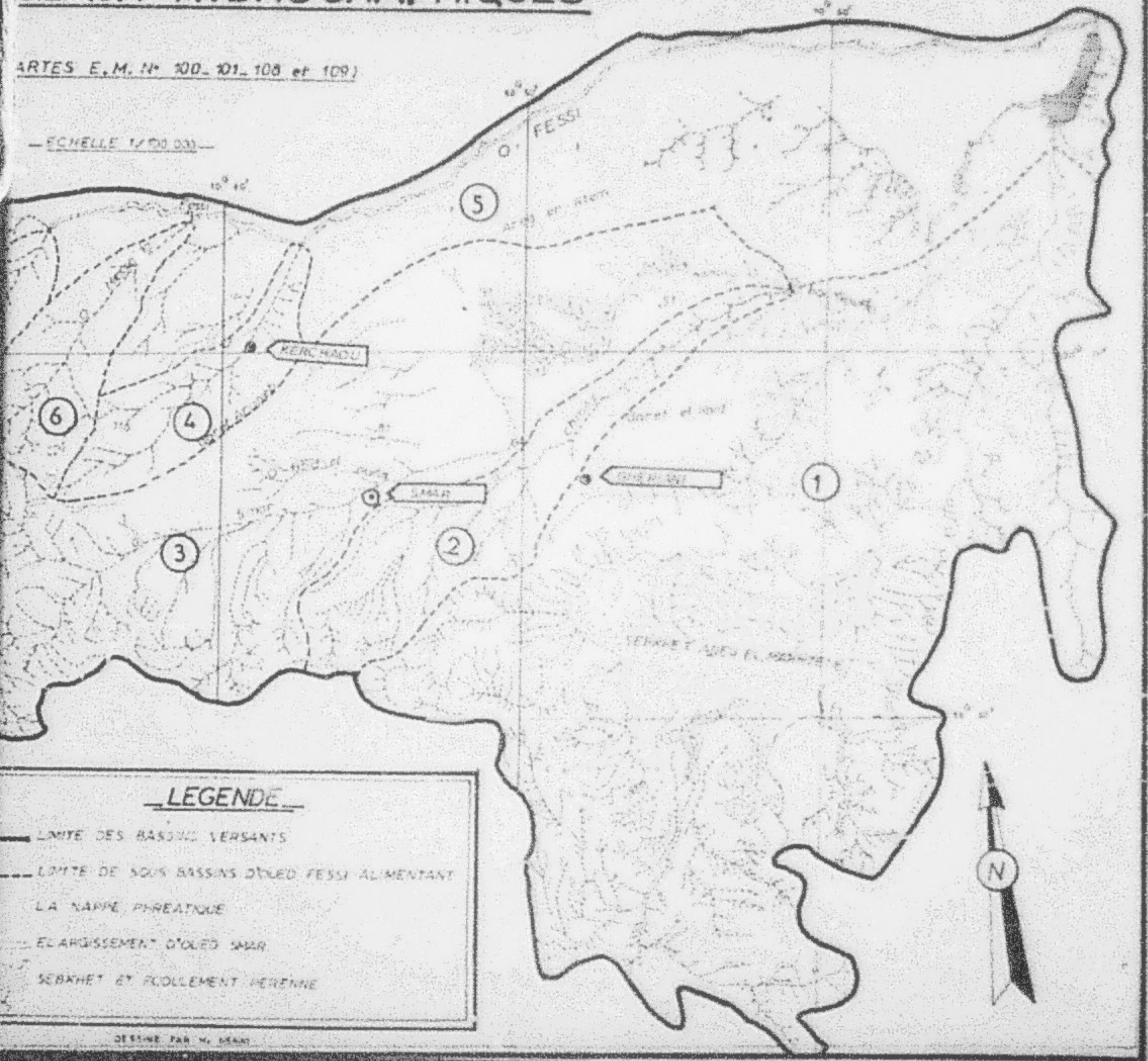
LEGENDE

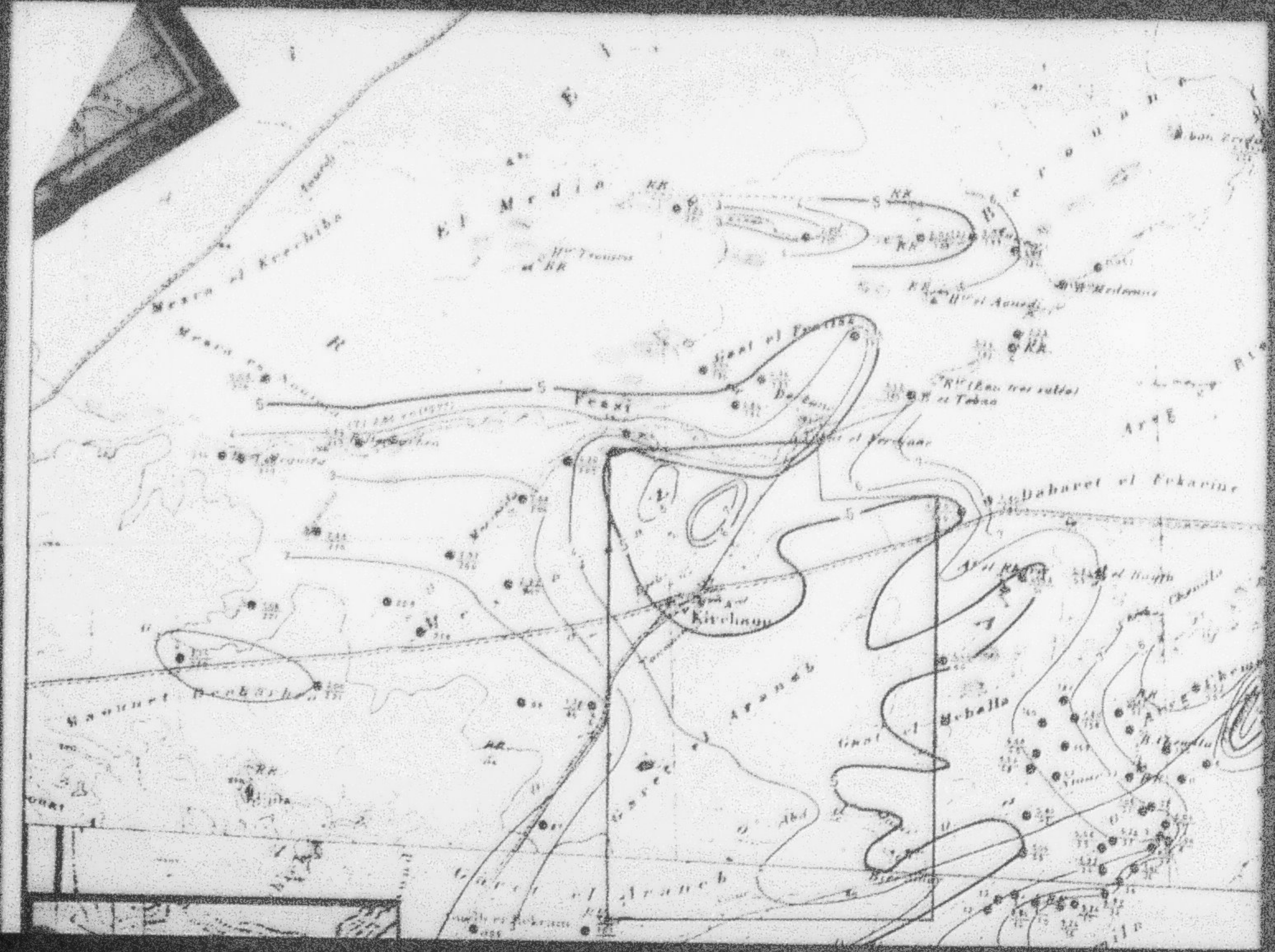
- 1. RIVIÈRE DE DÉSÉCHAGE
- 2. RÉSEAU DE DÉSÉCHAGE
- 3. RÉSEAU DE DÉSÉCHAGE
- 4. RÉSEAU DE DÉSÉCHAGE
- 5. RÉSEAU DE DÉSÉCHAGE

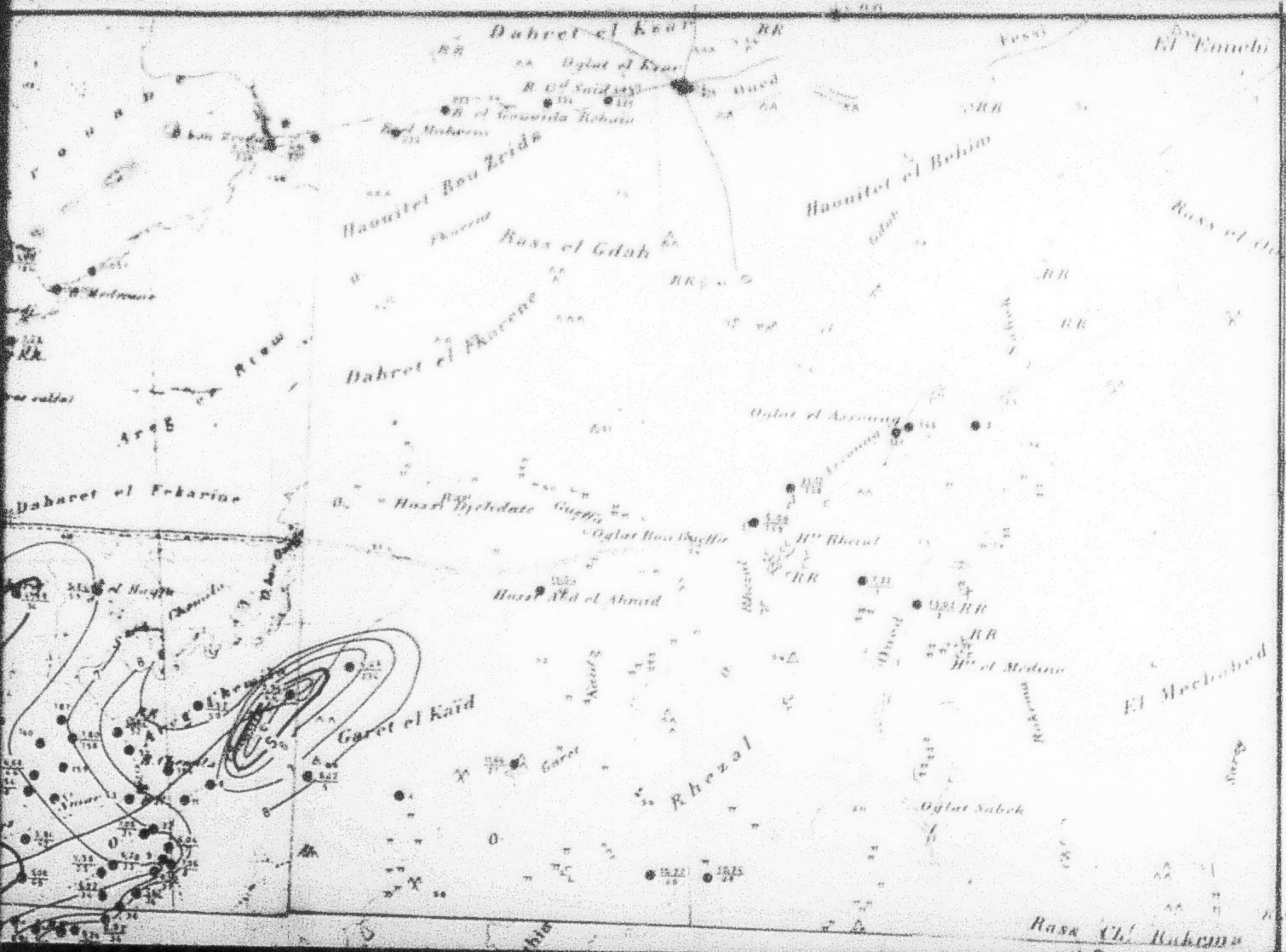
SEAUX HYDROGRAPHIQUES

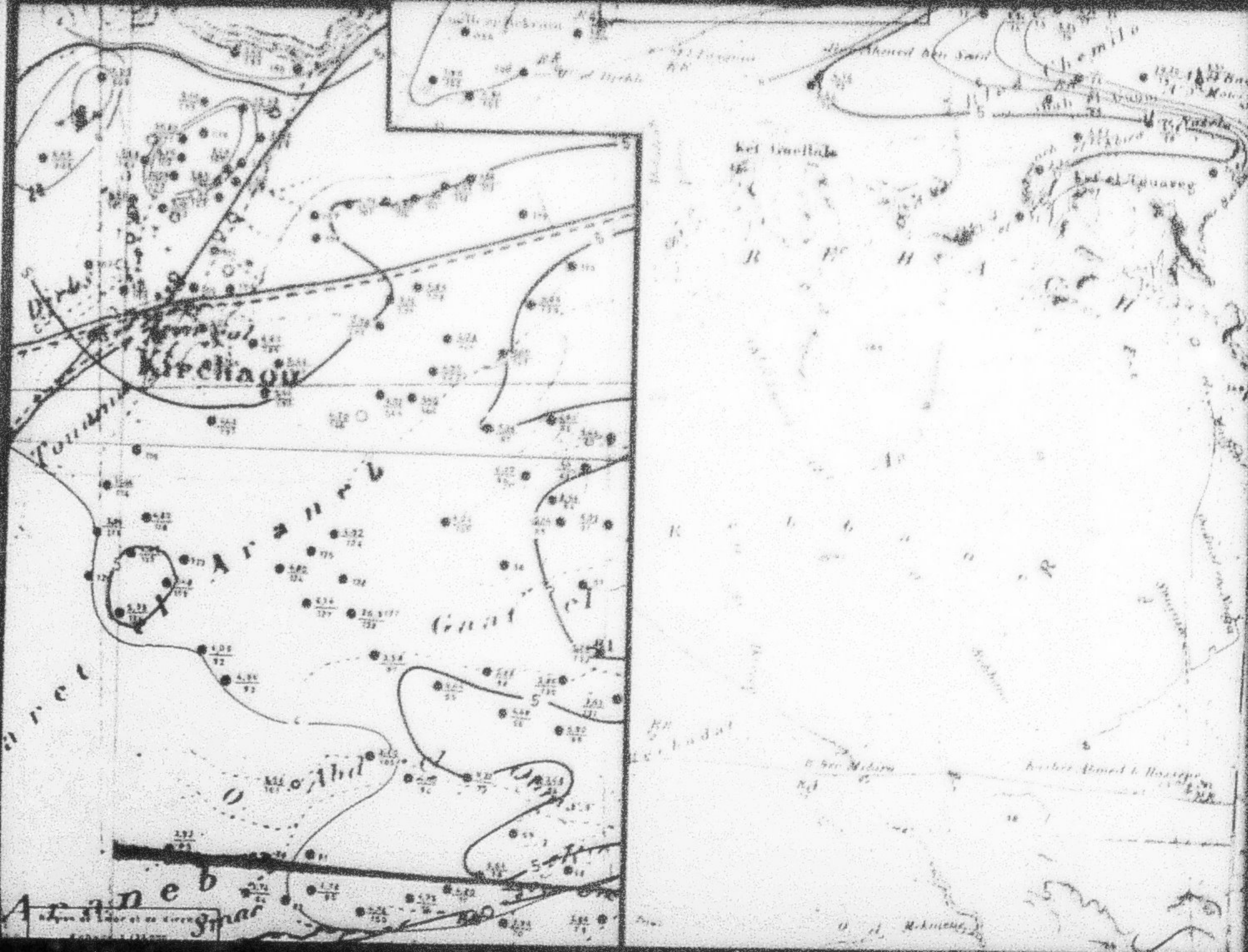
ARTES E.M. N° 100, 101, 108 et 109

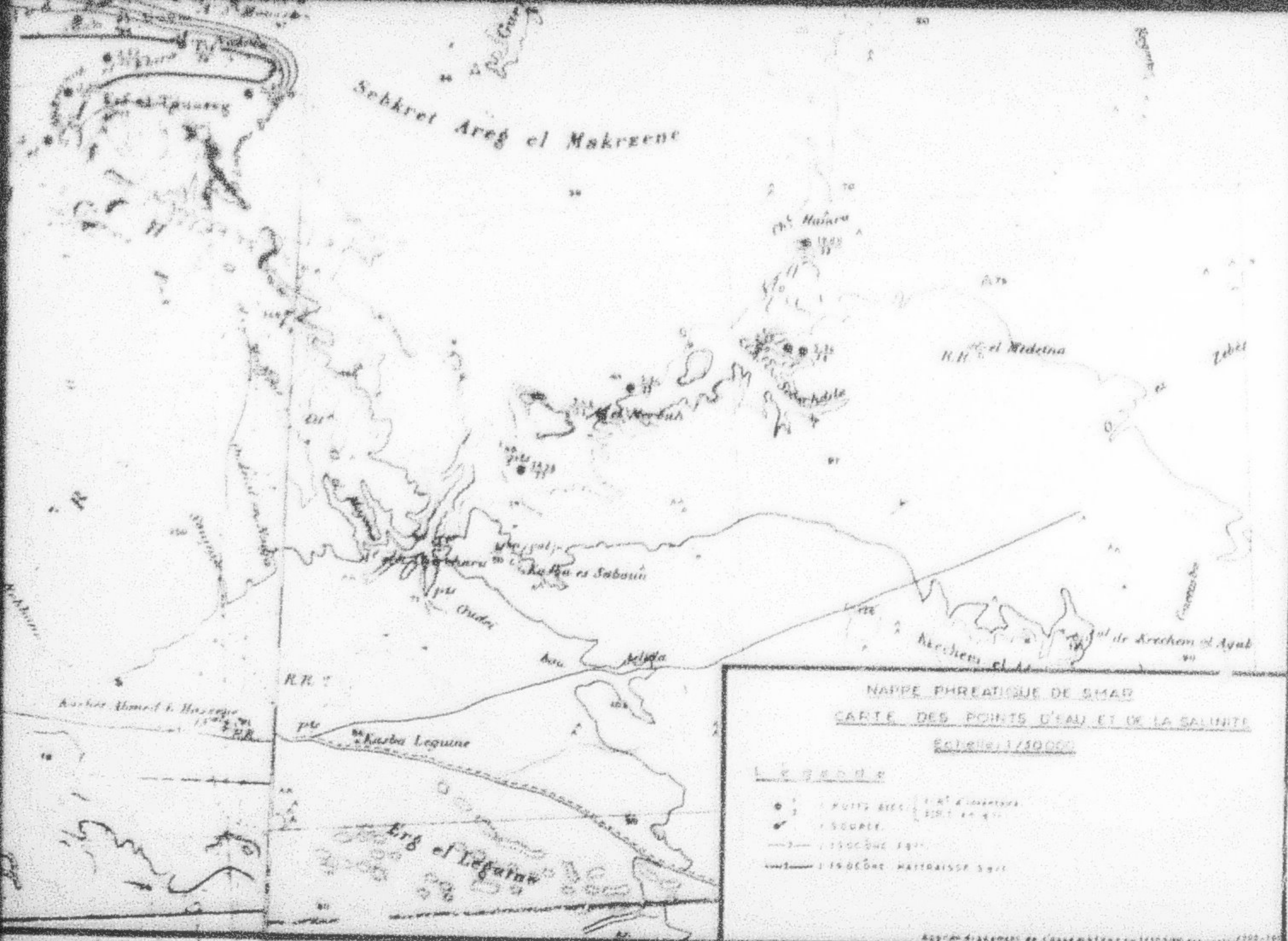
— ECHELLE 1/500 000 —











FIN

50

VUES